

Cap 10) Técnicas de Resposta em Frequencia

Controle Automatico II

Prof. Fernando Passold

Nov-2009; Jul-2020

Objetivos

- ▶ Definição do que é Resposta em Frequência;
- ▶ Como graficar resposta em frequência;
- ▶ Como usar resposta em frequência para analisar estabilidade?
- ▶ Como usar resposta em frequência para analisar resposta transitória de um sistema e seu erro de regime permanente;
- ▶ Como usar resposta em frequência para determinar o ganho de acordo com especificações de estabilidade?

Para que serve Resposta em Frequência do ponto de vista de projeto de controladores?

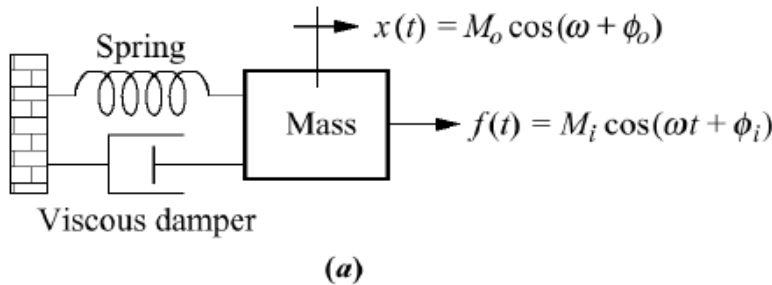
- ▶ Ajustar o ganho de forma a atender a especificações de resposta transitória;
- ▶ Projetar compensadores em cascata para melhorar erro de regime permanente;
- ▶ Projetar controladores em cascata para melhorar a resposta transitória;
- ▶ Projetar controladores em cascata para melhorar tanto o erro estacionário quanto a resposta transitória

Introdução

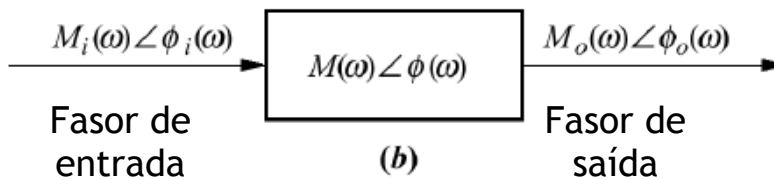
- ▶ Estabilidade e projeto da resposta transitória mediante ajuste de ganho:
 - ▶ Métodos baseados em resposta em frequência, diferentes do método baseado em RL, podem ser realizados sem a obrigatoriedade de uma ferramenta computacional usando aproximações assintóticas.
- ▶ O projeto da resposta transitória mediante compensação em cascata:
 - ▶ Métodos baseados em resposta em frequência não são tão intuitivos como os baseados em RL.
- ▶ Projeto dos erros de estado estacionário mediante compensação em cascata:
 - ▶ Métodos baseados em resposta em frequência facilitam o projeto de compensadores derivativos de forma a acelerar a resposta do sistema ao mesmo tempo respeitando requerimentos de erros de regime permanente.

Resposta em frequência: Definição...

- ▶ Ondas sinusoidais podem ser representadas como números complexos chamados fasores



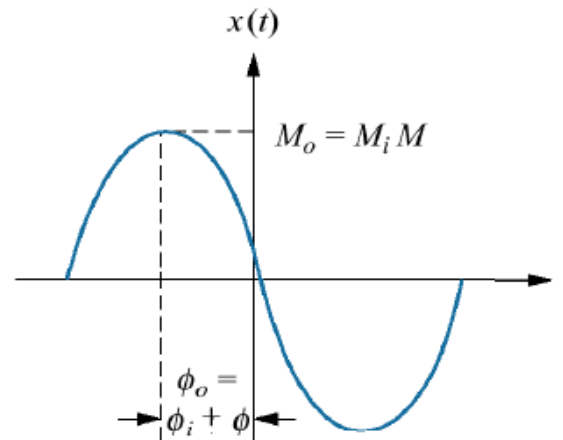
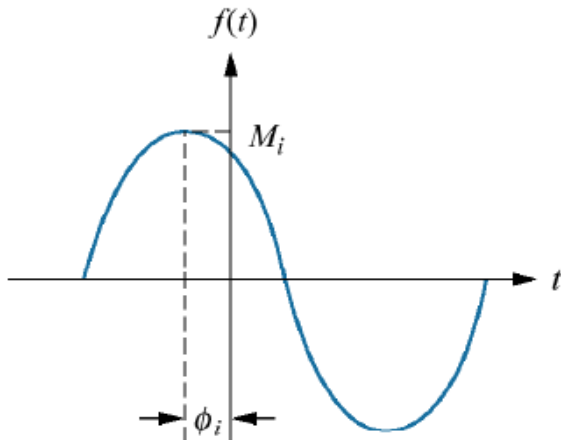
$f(t)$ = entrada de força, sinusoidal neste caso:



Definição:

$$M(\omega) = \frac{M_o(\omega)}{M_i(\omega)}$$

$$\phi(\omega) = \phi_o(\omega) - \phi_i(\omega)$$



Resposta em frequência: Definição...

▶ Definição: $M(\omega) \angle \phi(\omega)$

▶ Magnitude: $M(\omega) = M_o(\omega) / M_i(\omega)$

▶ Fase: $\phi(\omega) = \phi_o(\omega) - \phi_i(\omega)$

▶ Formatos de expressão:

$$r(t) = A \cos(\omega t) + B \sin(\omega t) = \sqrt{A^2 + B^2} \cos[\omega t - \tan^{-1}(B/A)]$$

1. Forma Polar: $M_i \angle \phi_i$

2. Forma Retangular: $A - jB$

3. Equação de Euler: $M_i e^{j\phi_i}$

Exemplo 10.1: $G(s) = 1/(s + 2)$

Sustituindo: $s = j\omega$, para obter: $G(j\omega) = G(s)|_{s \rightarrow j\omega}$

$$dB = 20 \log M$$

$$G(j\omega) = \frac{1}{(j\omega + 2)} \cdot \frac{(-j\omega + 2)}{(-j\omega + 2)} = \frac{2 - j\omega}{(\omega^2 + 4)}$$

$$\text{Magnitude: } |G(j\omega)| = M(\omega) = \frac{1}{\sqrt{(\omega^2 + 4)}}$$

$$\text{Fase: } \phi(\omega) = -\tan^{-1}(\omega/2)$$

$$\text{Gráfico de Magnitude: } 20 \log M(\omega) = 20 \log\left(1/\sqrt{\omega^2 + 4}\right)$$

$$\text{Gráfico de Fase: } \phi(\omega) = -\tan^{-1}(\omega/2)$$

Diagrama Polar:

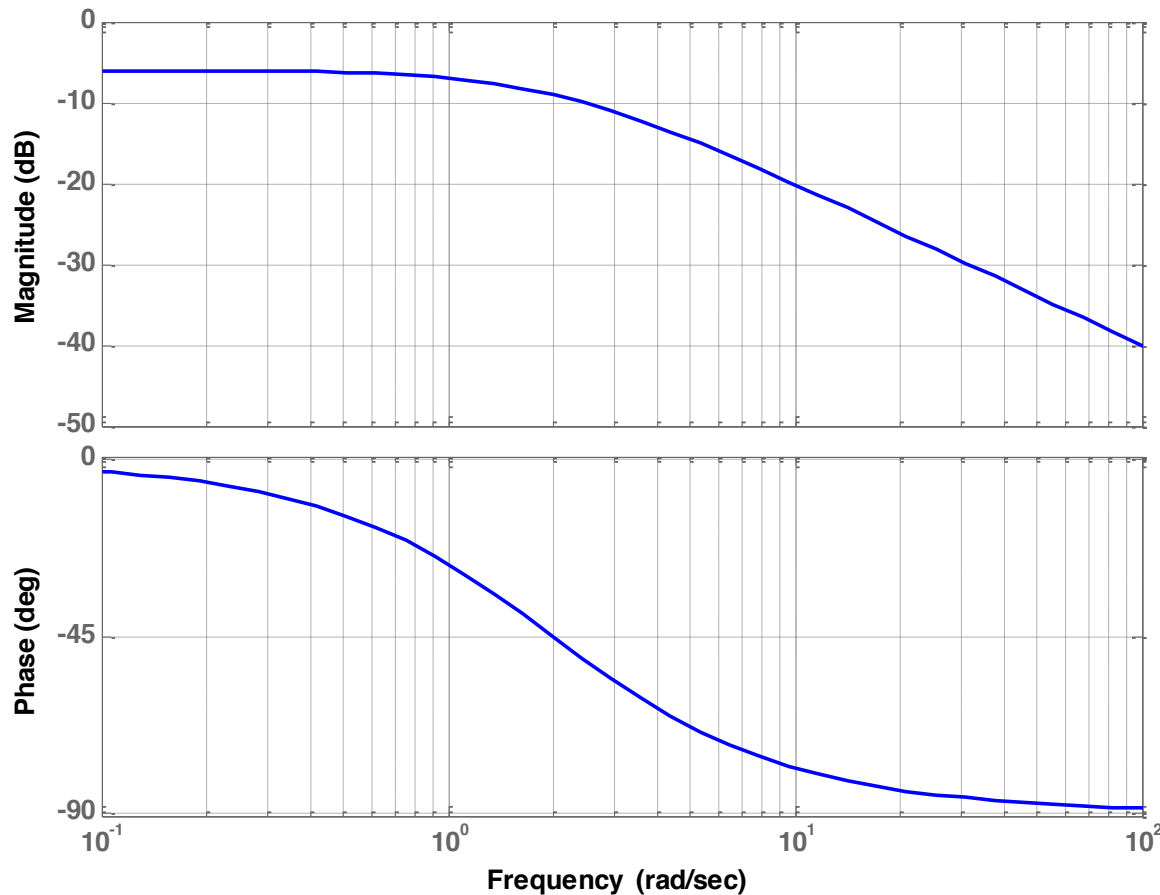
$$M(\omega) \angle \phi(\omega) = 1/\sqrt{\omega^2 + 4} \angle -\tan^{-1}(\omega/2)$$

Exemplo 10.1: $G(s) = 1/(s + 2)$

Grafico de Magnitude: $20 \log M(\omega) = 20 \log(1/\sqrt{\omega^2 + 4})$

Grafico de Fase: $\phi(\omega) = -\tan^{-1}(\omega/2)$

Bode Diagram



```
>> clear all
>> numg=1;
>> deng=[1 2];
>> g=tf(numg,deng);
>> zpk(g)
```

Zero/pole/gain:

1

(s+2)

```
>> bode(g), grid
```


Exemplo 10.1: $G(s) = 1/(s + 2)$

Assintoticamente:

$$G(s) = \frac{1}{(s+a)} = \frac{1}{a\left(\frac{s}{a}+1\right)}$$

Para baixas freq. ($jw < a$):

$$G(jw) \approx \frac{1}{a}$$

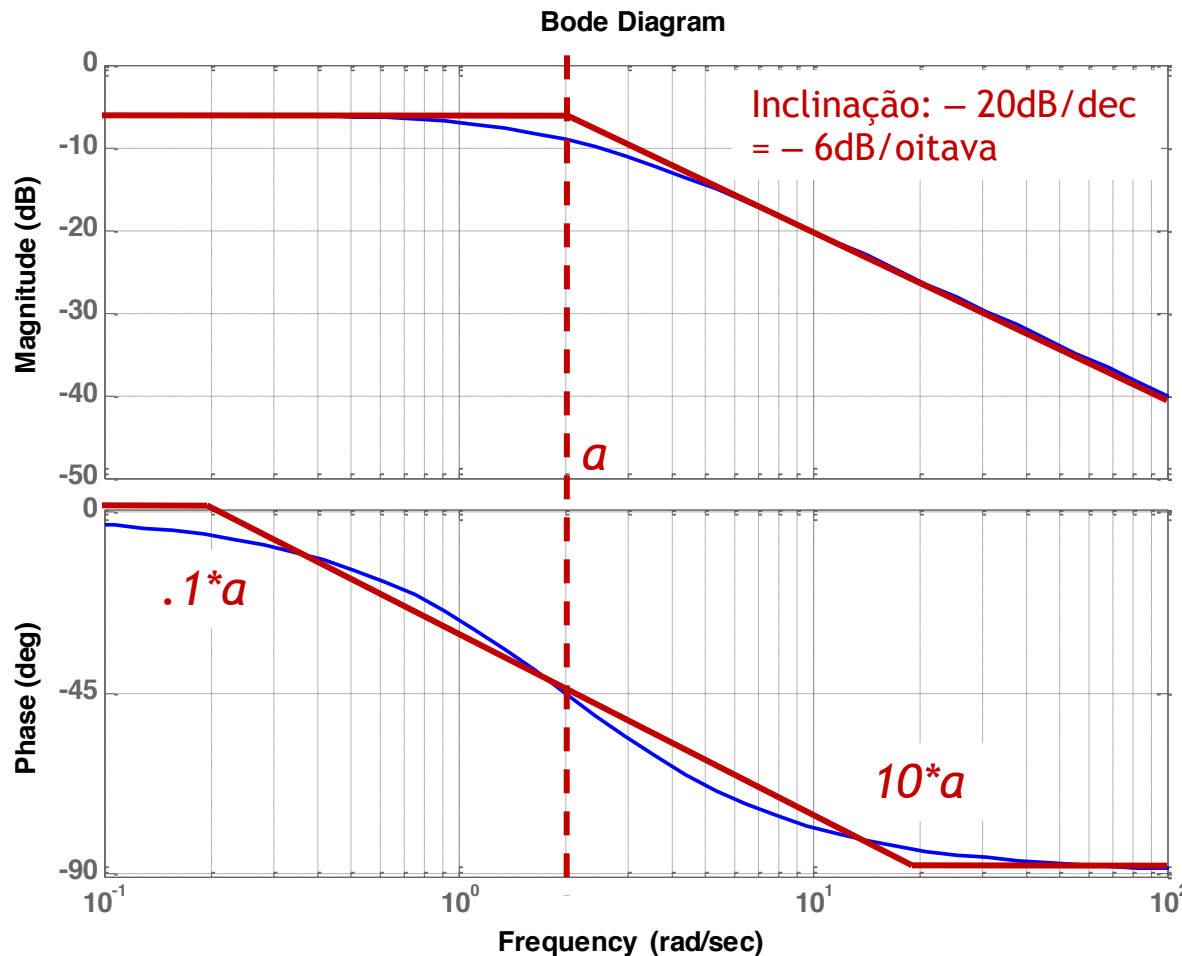
$$20 \log M = -20 \log a$$

Para altas freq. ($jw > a$):

$$G(jw) = \frac{1}{a\left(\frac{jw}{a}\right)} = \frac{\frac{1}{a}}{\frac{w}{a}} \angle -90^\circ = \frac{1}{w} \angle -90^\circ$$

$$20 \log M = -20 \log\left(\frac{1}{a}\right) - 20 \log\left(\frac{w}{a}\right) = -20 \log(w)$$

$$\begin{aligned} 20 \log(M) &= 20 \log(1/a) \\ &= 20 \log(a^{-1}) \\ &= -20 \log(a) \\ &= -20 \log(2) \\ &= -6,0206 \end{aligned}$$



Revisão de traçados de Diagramas de Bode...

▶ Diagrama de Bode para:

- ▶ Se $s = j\omega$: (Derivador Puro)

$$G(j\omega) = (j\omega + a) = a \left(j \frac{\omega}{a} + 1 \right)$$

- ▶ Para baixas frequências ($\omega < a$):

$$G(j\omega) \approx a$$

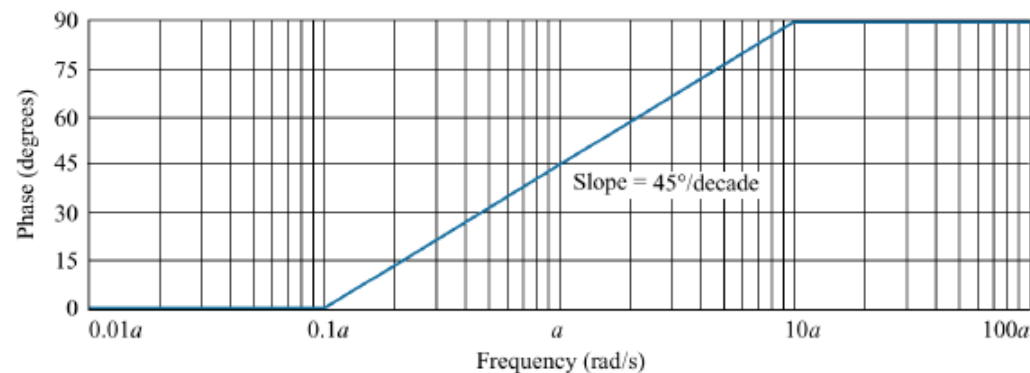
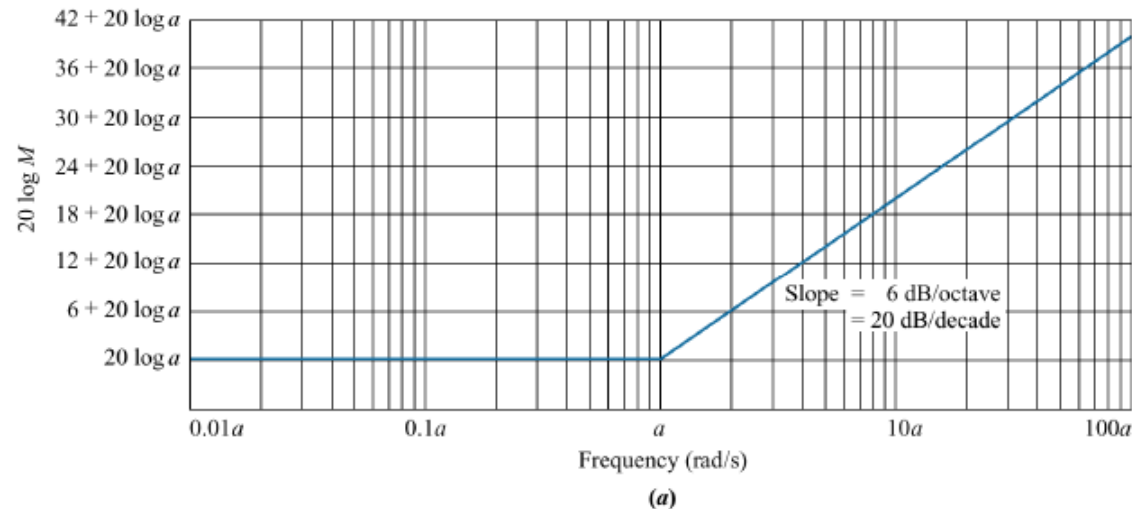
$$20 \log(M) = 20 \log(a)$$

- ▶ Para frequências elevadas ($\omega > a$)

$$G(j\omega) \approx a$$

$$20 \log(M) = 20 \log(a)$$

$$G(s) = (s + a)$$



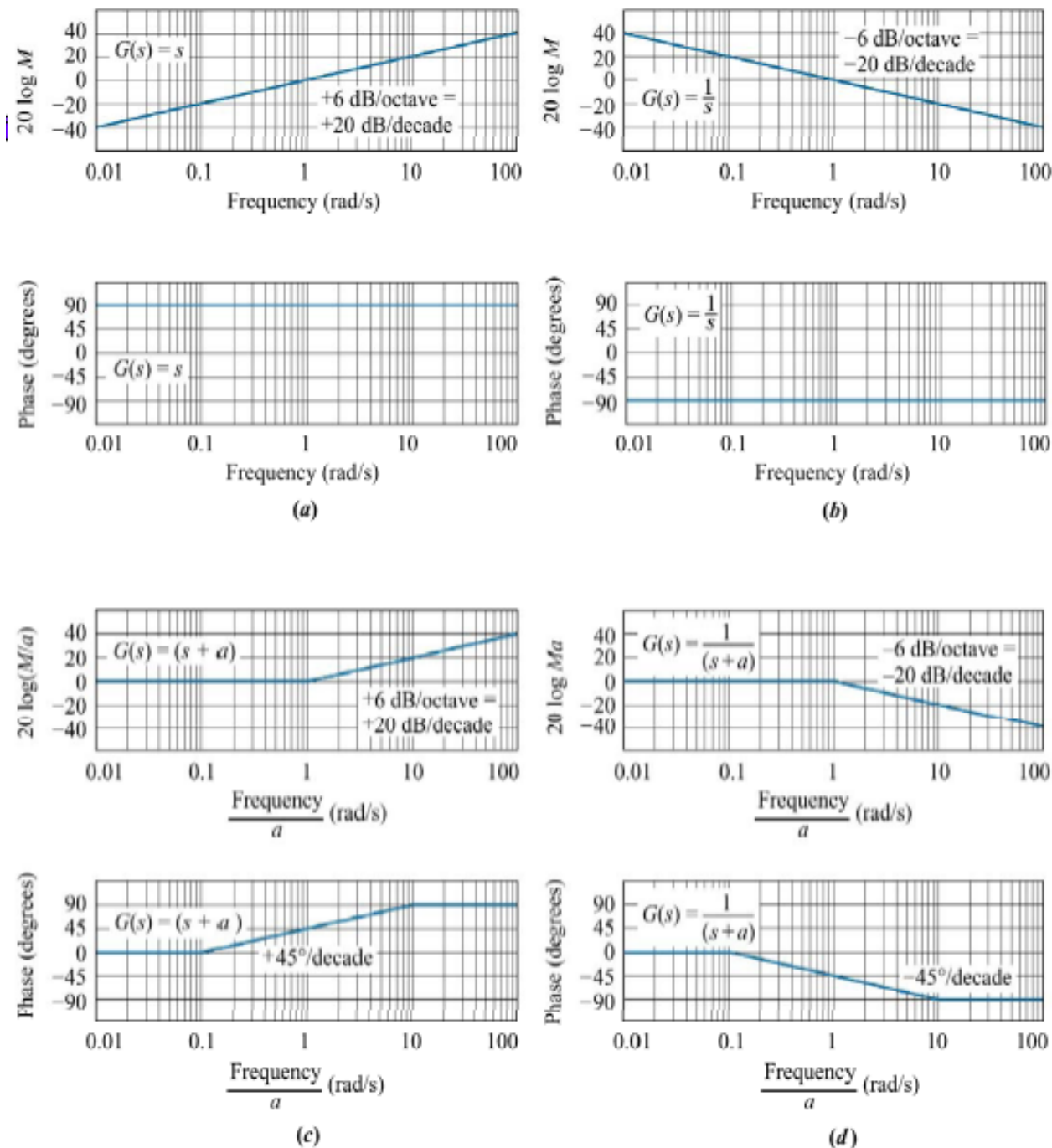
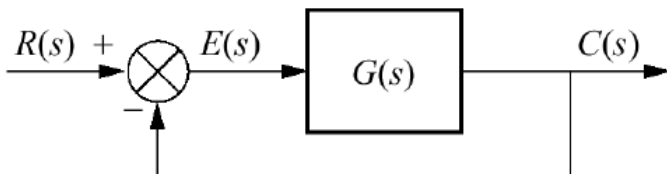


Figure 10.9
 Normalized and scaled
 Bode plots for
 a. $G(s) = s$;
 b. $G(s) = 1/s$;
 c. $G(s) = (s + a)$;
 d. $G(s) = 1/(s + a)$

Exemplo 10.2)

$$G(s) = \frac{K(s+3)}{s(s+1)(s+2)}$$



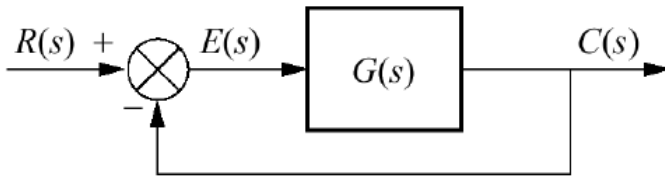
Reescrevendo a função, normalizada com relação aos zeros e polos:

$$G(s) = \frac{\frac{3}{2}K \left(\frac{s}{3} + 1 \right)}{s(s+1) \left(\frac{s}{2} + 1 \right)}$$

	Start: Pole at 0	Start: Pole at -1	Start: Pole at -2	Start: Zero at -3
Frequency (rad/s)	0.1	1	2	3
Pole at 0	-20	-20	-20	-20
Pole at -1	0	-20	-20	-20
Pole at -2	0	0	-20	-20
Zero at -3	0	0	0	20
Total slope (dB/dec)	-20	-40	-60	-40

Exemplo 10.2)

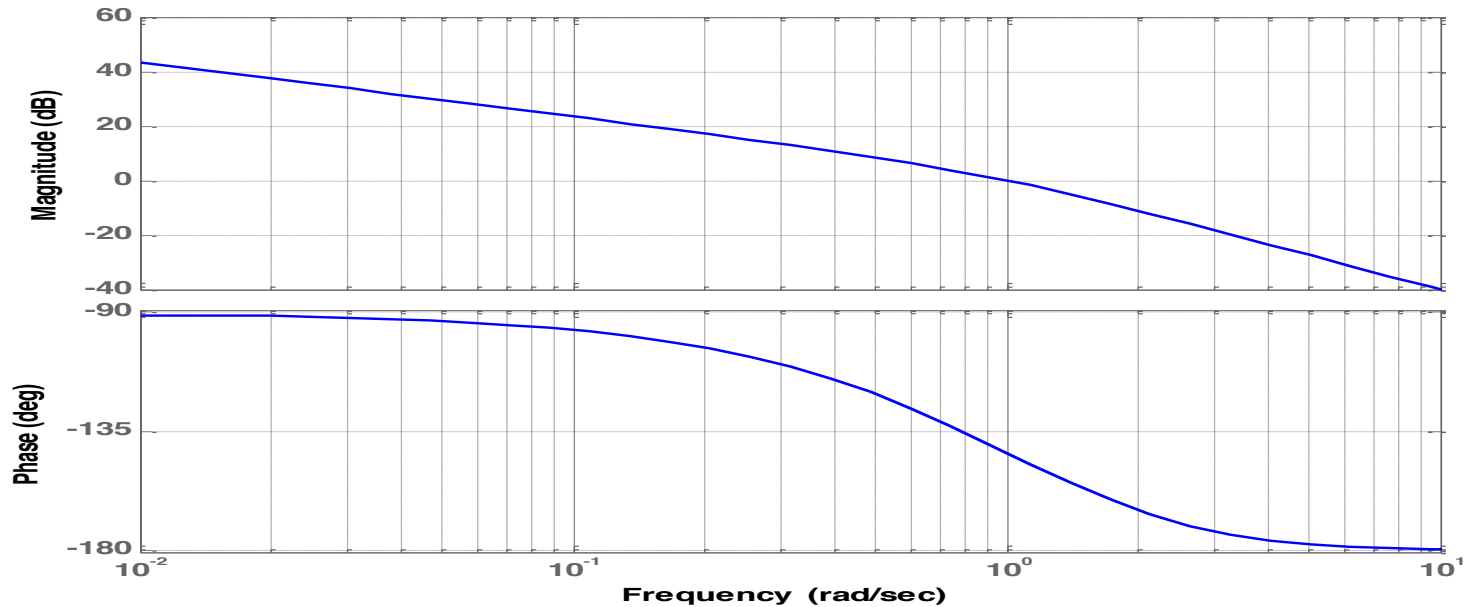
$$G(s) = \frac{K(s+3)}{s(s+1)(s+2)}$$



	Start: Pole at 0	Start: Pole at -1	Start: Pole at -2	Start: Zero at -3
Frequency (rad/s)	0.1	1	2	3
Pole at 0	-20	-20	-20	-20
Pole at -1	0	-20	-20	-20
Pole at -2	0	0	-20	-20
Zero at -3	0	0	0	20
Total slope (dB/dec)	-20	-40	-60	-40

$$G(s) = \frac{\frac{3}{2}K \left(\frac{s}{3} + 1 \right)}{s(s+1) \left(\frac{s}{2} + 1 \right)}$$

Bode Diagram



Outros exemplos:



$$G_1(s) = \frac{s}{(s+10)}$$

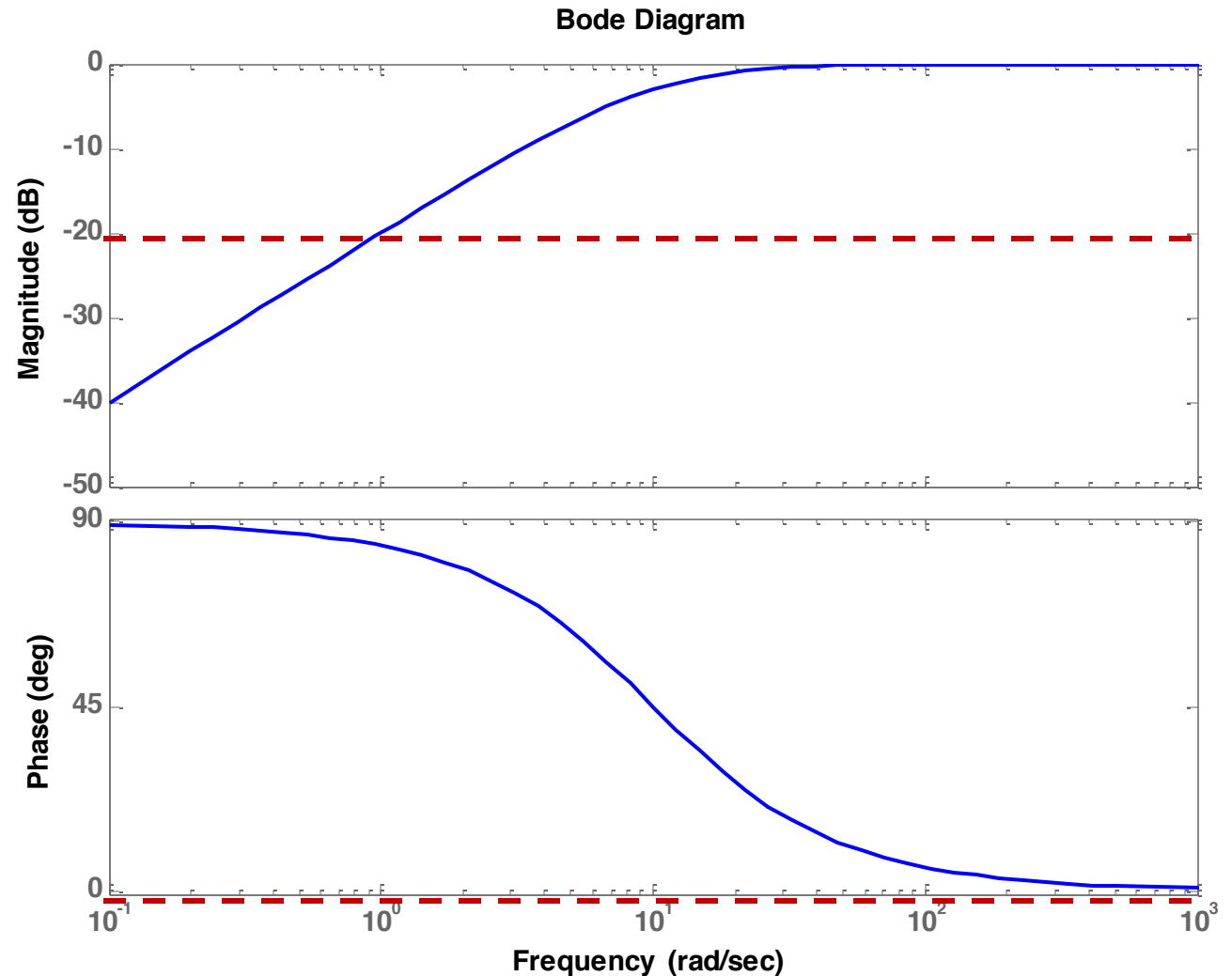
$$G_1(s) = \frac{1}{10} \cdot \frac{s}{\left(\frac{s}{10} + 1\right)}$$



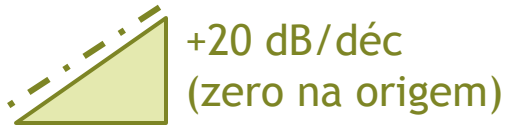
Linha de base,
ganho = 0,1
(-20 dB)

$$\log(10) = 1$$

$$\log\left(\frac{1}{10}\right) = \log(10^{-1}) = -1$$



Outros exemplos:



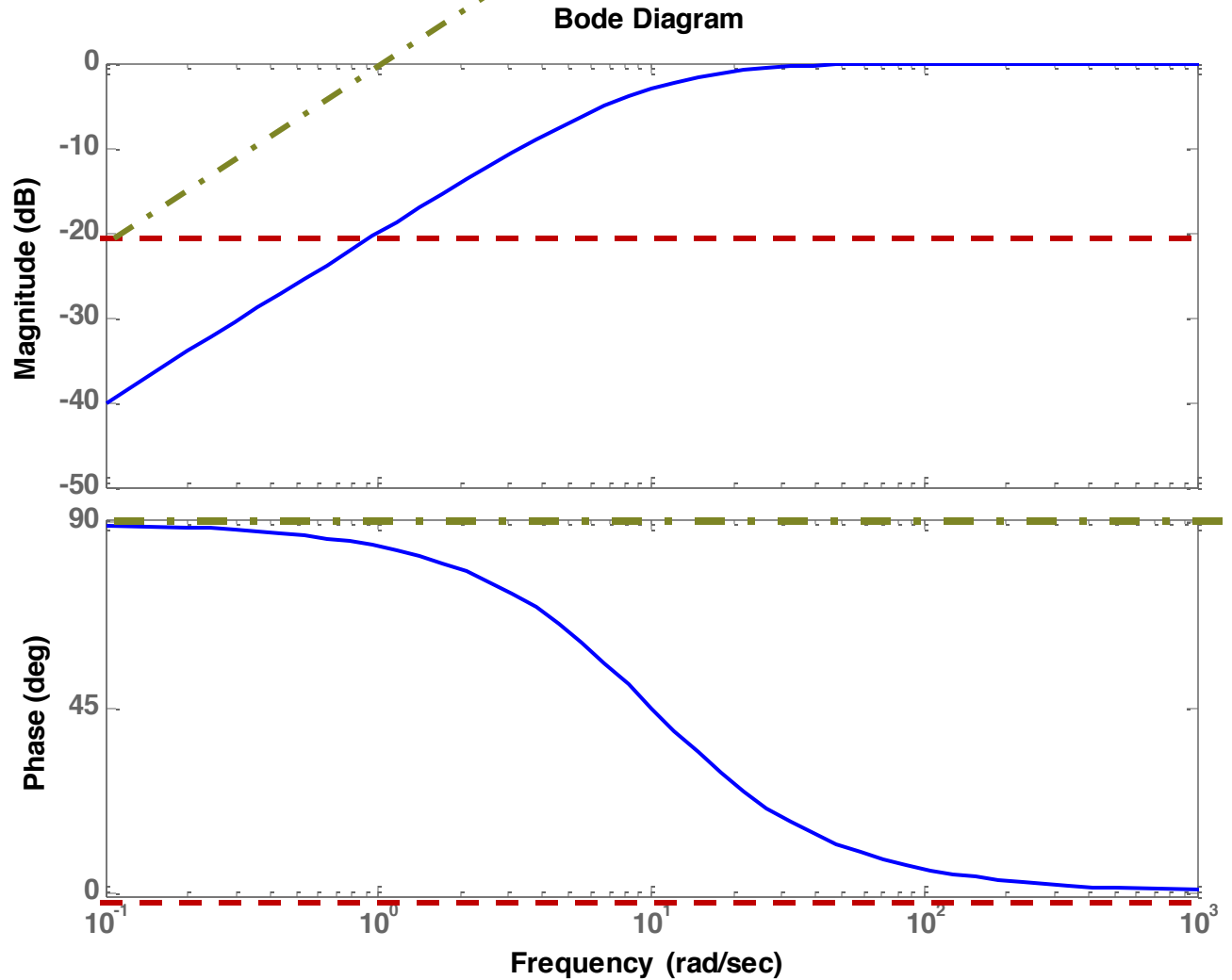
$$G_1(s) = \frac{s}{(s+10)}$$

$$G_1(s) = \frac{1}{10} \cdot \frac{s}{\left(\frac{s}{10} + 1\right)}$$

Zero na origem

$$\log(10) = 1$$

$$\log\left(\frac{1}{10}\right) = \log(10^{-1}) = -1$$



Outros exemplos:



$$G_1(s) = \frac{s}{(s+10)}$$

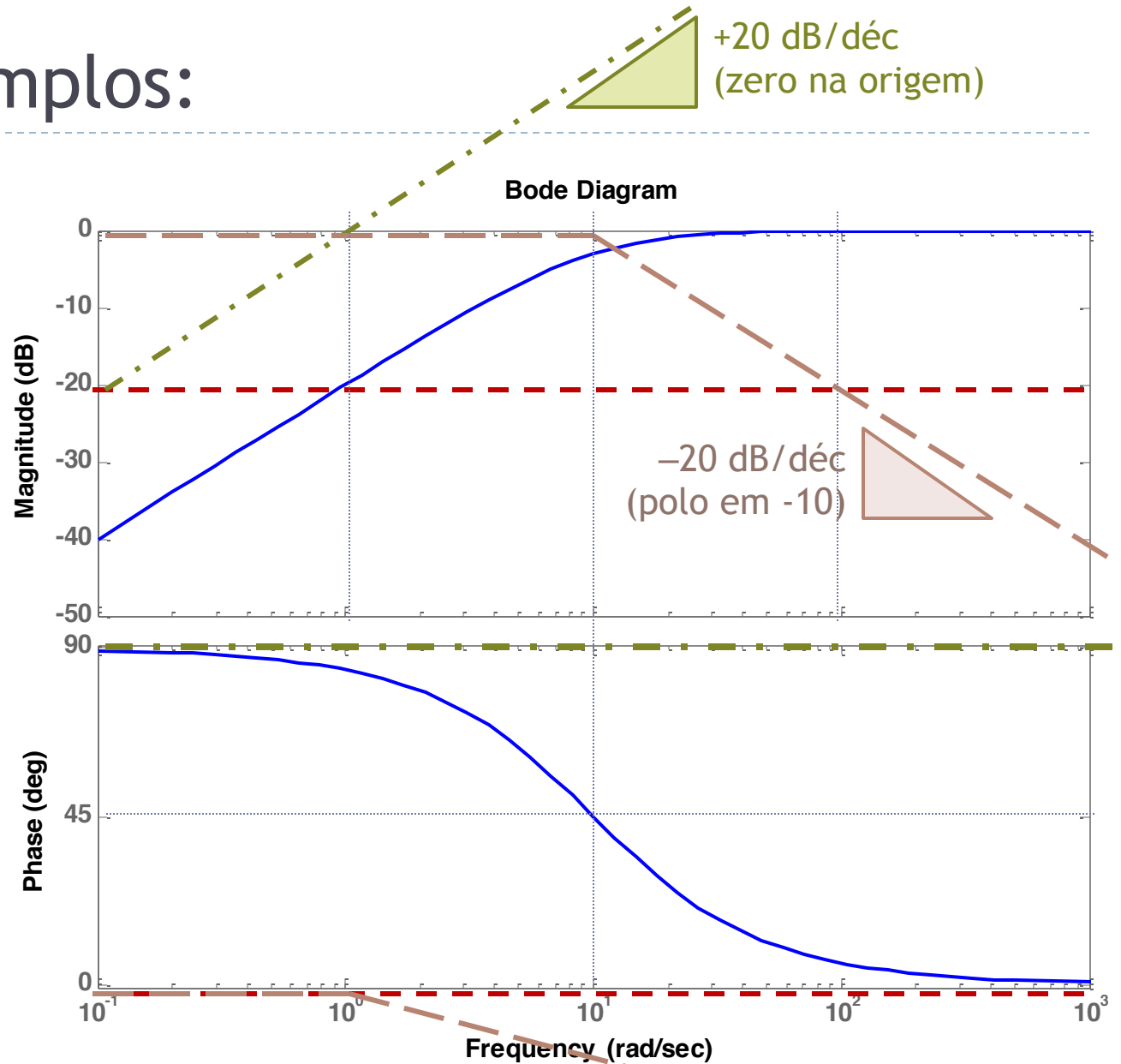
$$G_1(s) = \frac{1}{10} \cdot \frac{s}{\left(\frac{s}{10} + 1\right)}$$



Polo real em $s = -10$

$$\log(10) = 1$$

$$\log\left(\frac{1}{10}\right) = \log(10^{-1}) = -1$$



Outros exemplos:



$$G_1(s) = \frac{s}{(s+10)}$$

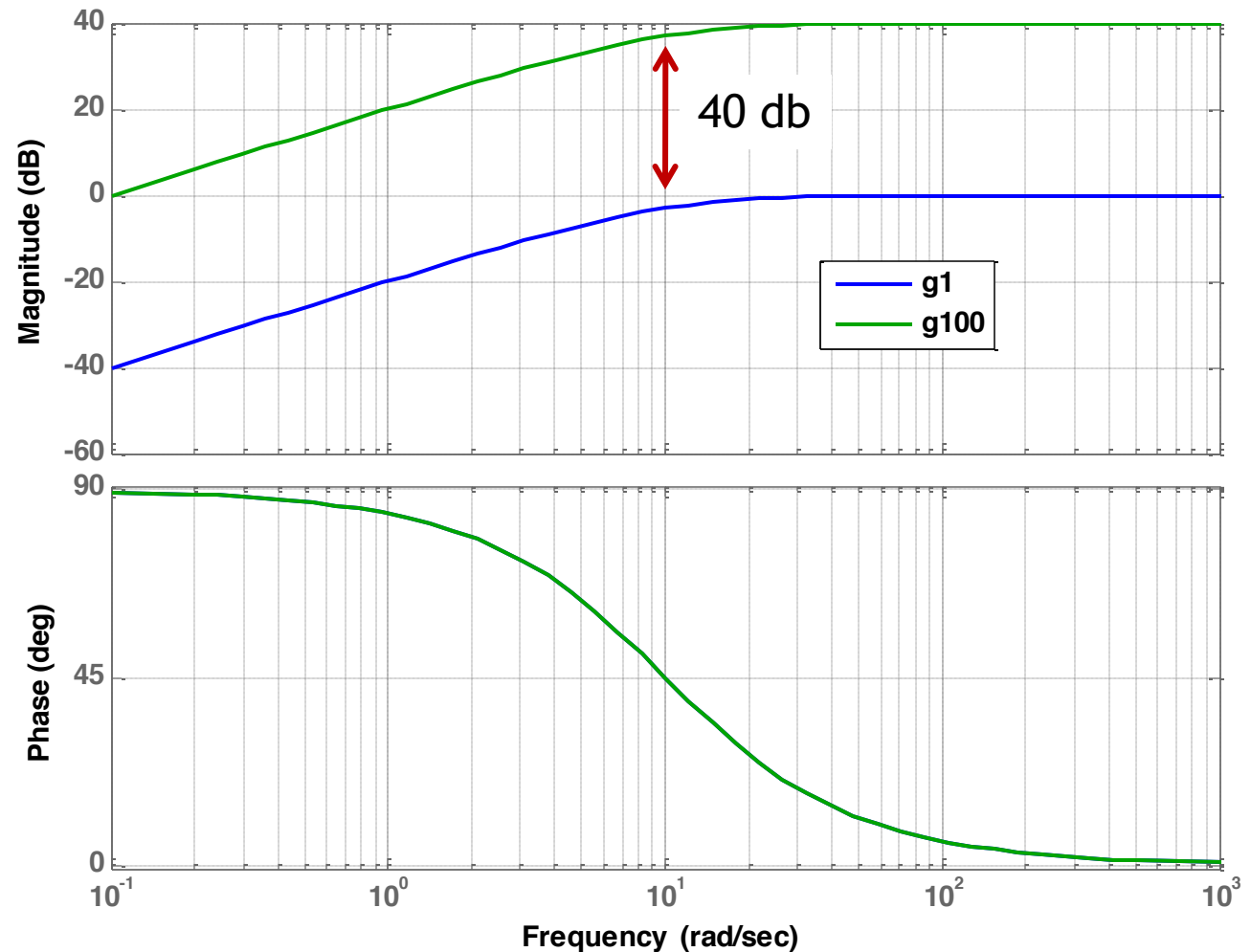
$$G_{100}(s) = 100 \frac{s}{(s+10)}$$

$$G_{100}(s) = 10 \frac{s}{s + \frac{s}{10}}$$



Diferença:
Ganho de magnitude:
 $\log(100) = 2$

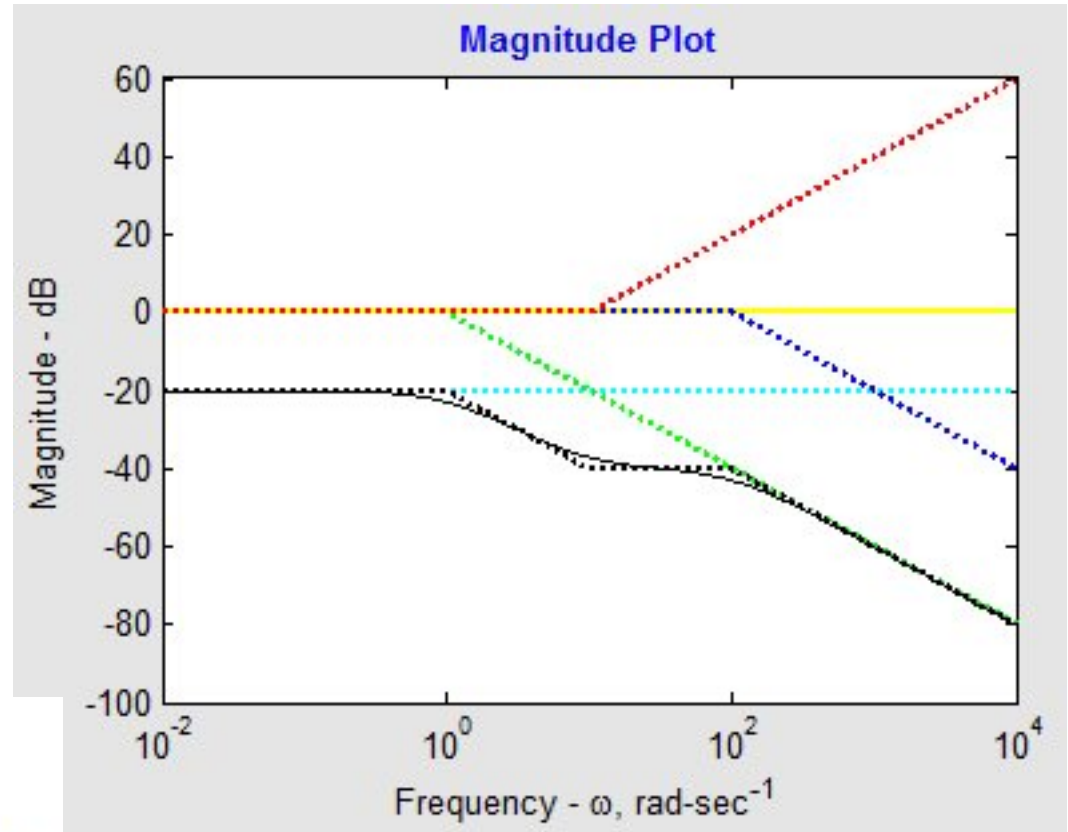
Bode Diagram



Outros exemplos:

$$\begin{aligned}
 \blacktriangleright G_2(s) &= \frac{s+10}{(s+1)(s+100)} \\
 &= \frac{10\left(\frac{s}{10}+1\right)}{(s+1)\cdot 100\left(\frac{s}{100}+1\right)} \\
 &= \frac{10}{100} \cdot \frac{\left(\frac{s}{10}+1\right)}{(s+1)\left(\frac{s}{100}+1\right)}
 \end{aligned}$$

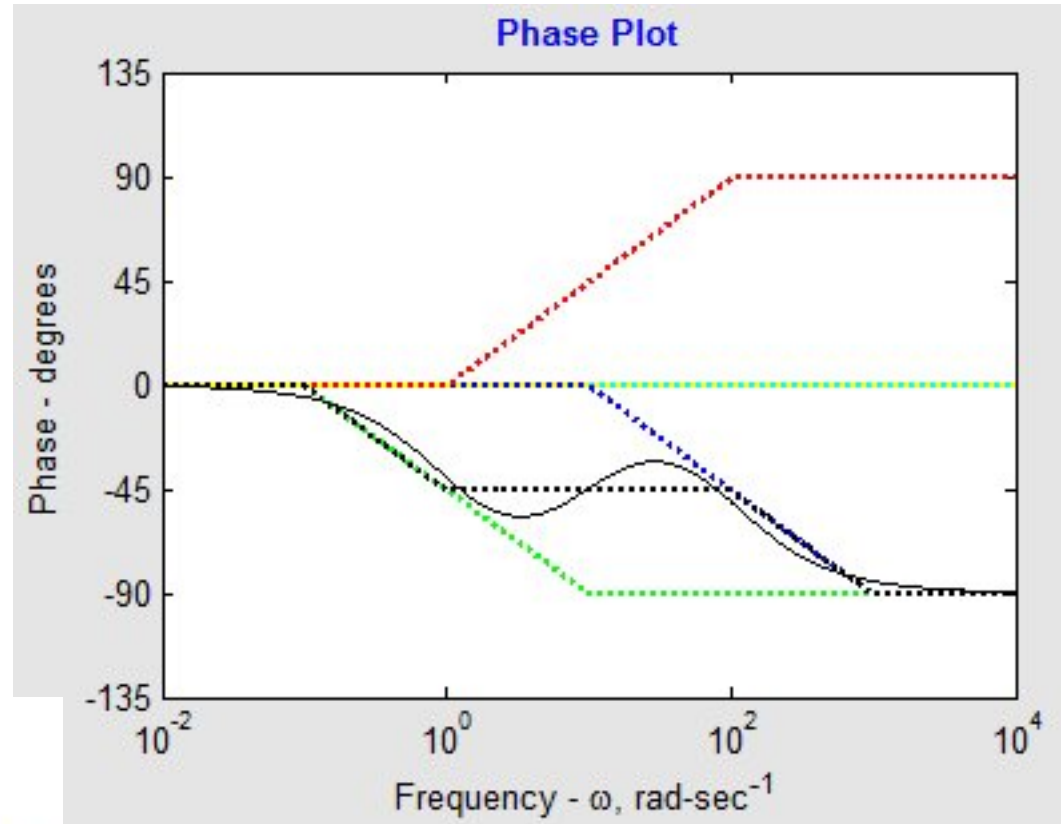
- Exact Bode Plot
- Asymptotic Plot
- Zero Value (for reference only)
- Constant = 0.1 (-20 dB)
- Real Pole at -1e+002
- Real Pole at -1
- Real Zero at -10



Outros exemplos:

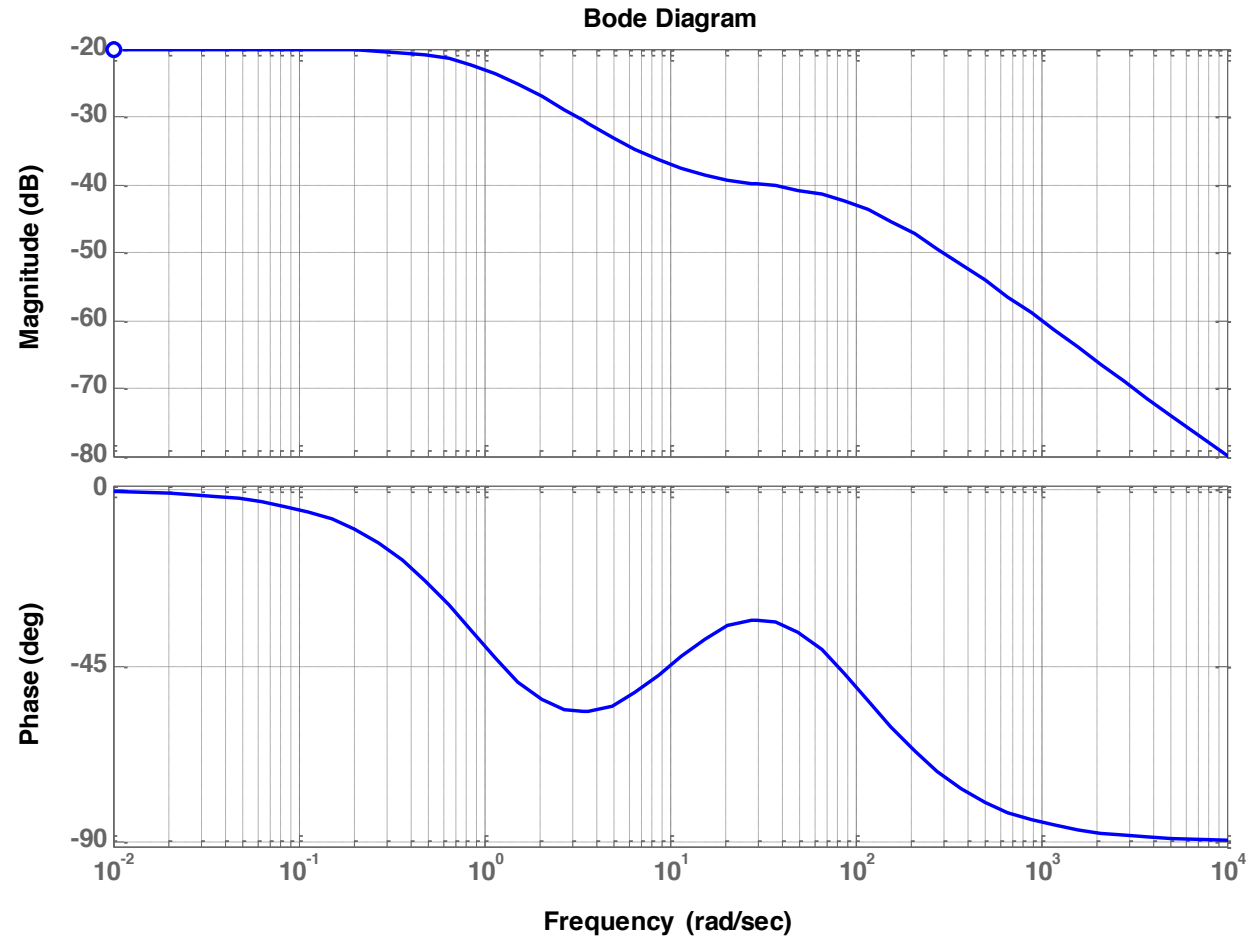
$$\begin{aligned}
 \blacktriangleright G_2(s) &= \frac{s+10}{(s+1)(s+100)} \\
 &= \frac{10\left(\frac{s}{10}+1\right)}{(s+1)\cdot 100\left(\frac{s}{100}+1\right)} \\
 &= \frac{10}{100} \cdot \frac{\left(\frac{s}{10}+1\right)}{(s+1)\left(\frac{s}{100}+1\right)}
 \end{aligned}$$

- Exact Bode Plot
- Asymptotic Plot
- Zero Value (for reference only)
- Constant = 0.1 (-20 dB)
- Real Pole at -1e+002
- Real Pole at -1
- Real Zero at -10



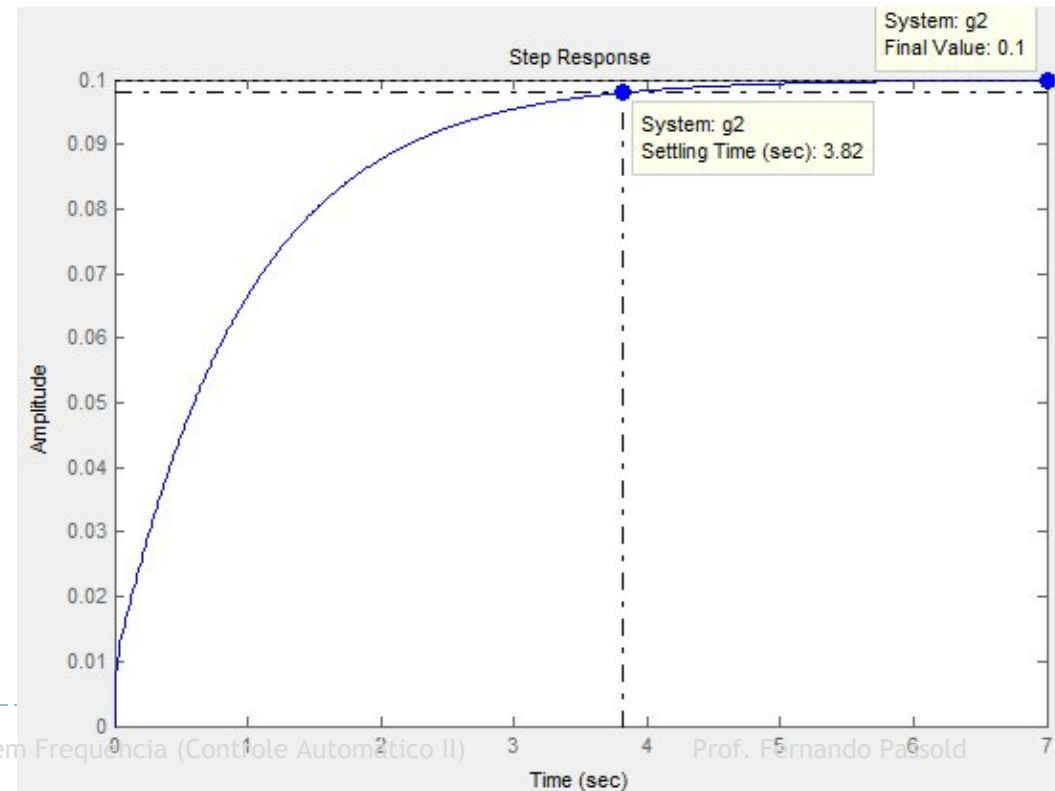
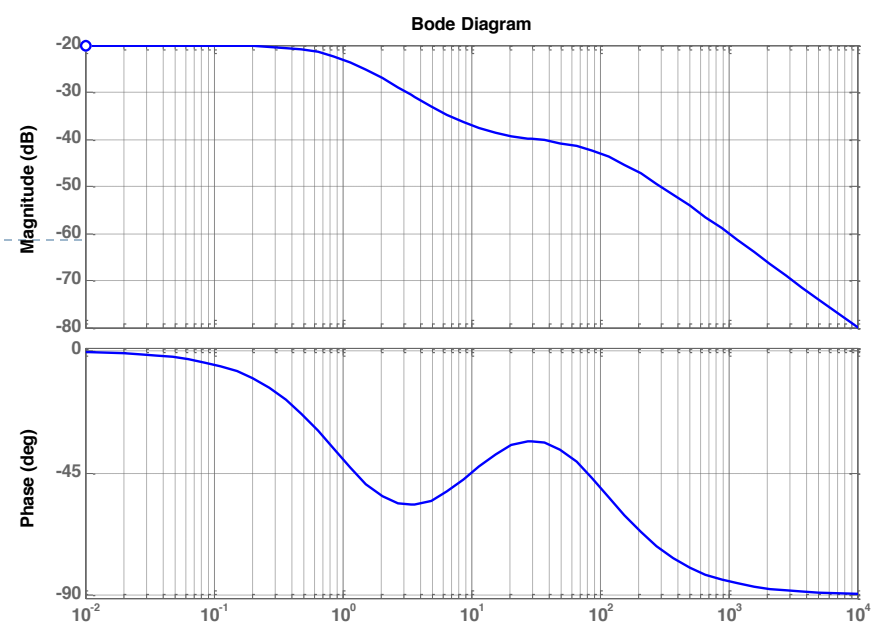
Outros exemplos:

$$\begin{aligned} \blacktriangleright G_2(s) &= \frac{s+10}{(s+1)(s+100)} \\ &= \frac{10\left(\frac{s}{10}+1\right)}{(s+1)\cdot 100\left(\frac{s}{100}+1\right)} \\ &= \frac{10}{100} \cdot \frac{\left(\frac{s}{10}+1\right)}{(s+1)\left(\frac{s}{100}+1\right)} \end{aligned}$$



Outros exemplos:

$$\begin{aligned} \blacktriangleright G_2(s) &= \frac{s+10}{(s+1)(s+100)} \\ &= \frac{10\left(\frac{s}{10}+1\right)}{(s+1)\cdot 100\left(\frac{s}{100}+1\right)} \\ &= \frac{10}{100} \cdot \frac{\left(\frac{s}{10}+1\right)}{(s+1)\left(\frac{s}{100}+1\right)} \end{aligned}$$



Outros Exemplos:

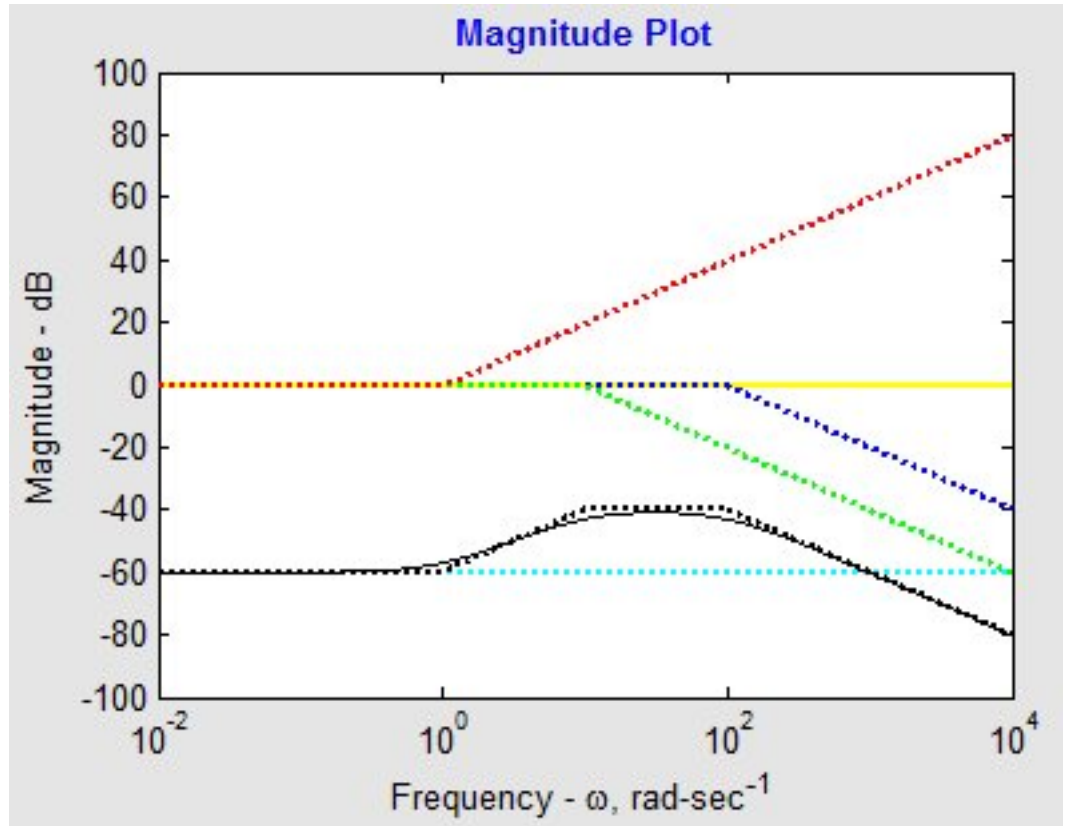


$$G_3(s) = \frac{s+1}{(s+10)(s+100)}$$

$$= \frac{(s+1)}{10\left(\frac{s}{10}+1\right) \cdot 100\left(\frac{s}{100}+1\right)}$$

$$= \frac{(s+1)}{1000\left(\frac{s}{10}+1\right)\left(\frac{s}{100}+1\right)}$$

- Exact Bode Plot
- Asymptotic Plot
- Zero Value (for reference only)
- Constant = 0.001 (-60 dB)
- Real Pole at -1e+002
- Real Pole at -10
- Real Zero at -1



Outros Exemplos:

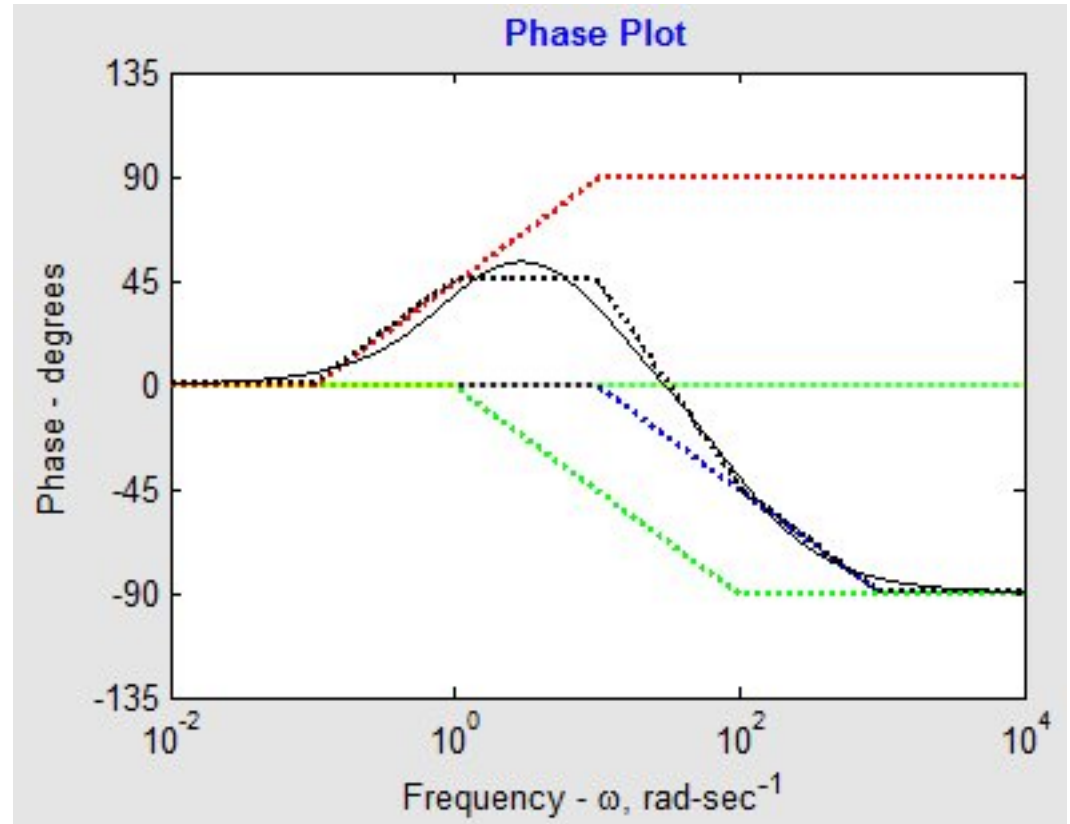


$$G_3(s) = \frac{s+1}{(s+10)(s+100)}$$

$$= \frac{(s+1)}{10\left(\frac{s}{10}+1\right) \cdot 100\left(\frac{s}{100}+1\right)}$$

$$= \frac{(s+1)}{1000\left(\frac{s}{10}+1\right)\left(\frac{s}{100}+1\right)}$$

- Exact Bode Plot
- Asymptotic Plot
- Zero Value (for reference only)
- Constant = 0.001 (-60 dB)
- Real Pole at -1e+002
- Real Pole at -10
- Real Zero at -1



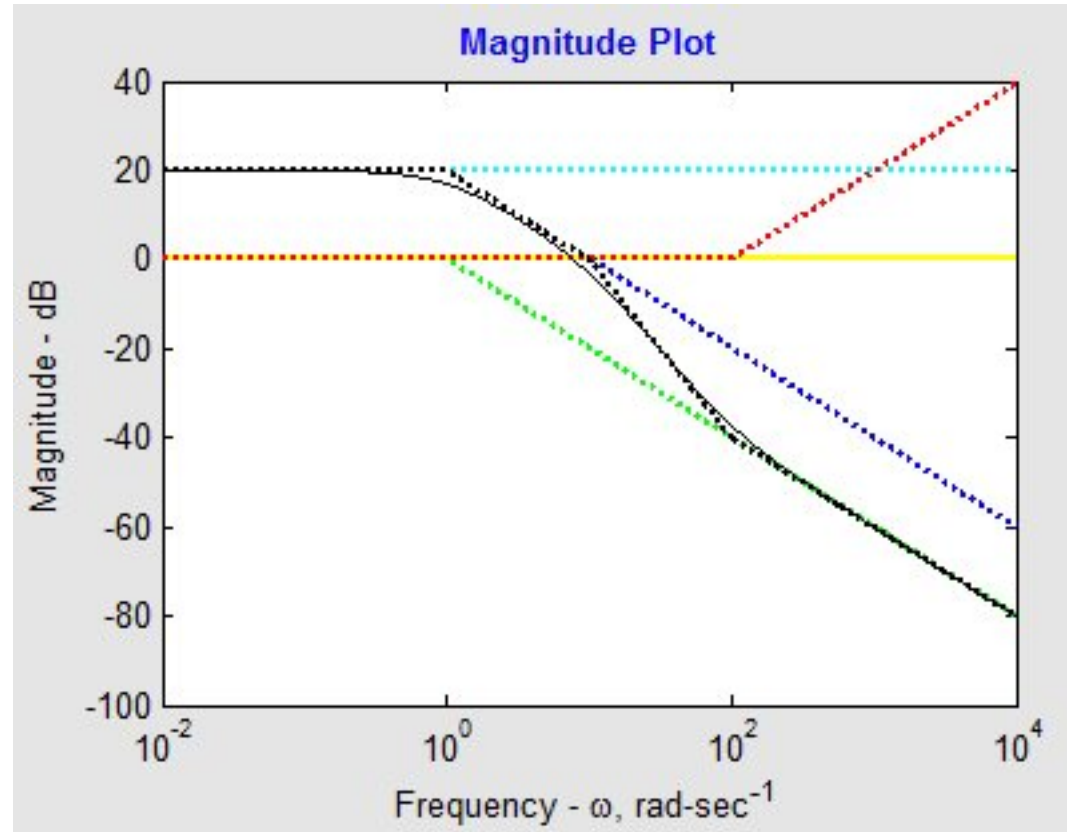
Outros Exemplos:

$$\blacktriangleright G_4(s) = \frac{s+100}{(s+1)(s+10)}$$

$$= \frac{100 \left(\frac{s}{100} + 1 \right)}{(s+1) \cdot 10 \left(\frac{s}{10} + 1 \right)}$$

$$= 10 \frac{\left(\frac{s}{100} + 1 \right)}{(s+1) \cdot \left(\frac{s}{10} + 1 \right)}$$

- Exact Bode Plot
- Asymptotic Plot
- Zero Value (for reference only)
- Constant = 10 (20 dB)
- Real Pole at -10
- Real Pole at -1
- Real Zero at -1e+002



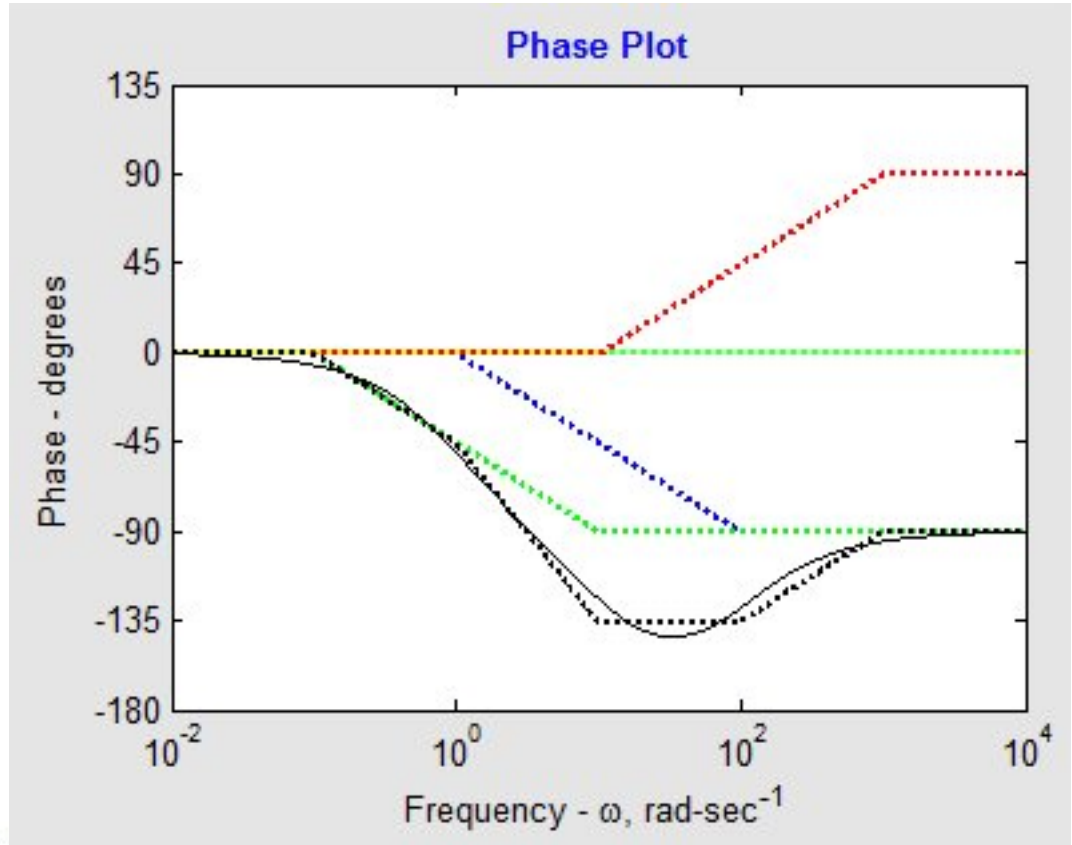
Outros Exemplos:

$$\blacktriangleright G_4(s) = \frac{s+100}{(s+1)(s+10)}$$

$$= \frac{100 \left(\frac{s}{100} + 1 \right)}{(s+1) \cdot 10 \left(\frac{s}{10} + 1 \right)}$$

$$= 10 \frac{\left(\frac{s}{100} + 1 \right)}{(s+1) \cdot \left(\frac{s}{10} + 1 \right)}$$

- Exact Bode Plot
- Asymptotic Plot
- Zero Value (for reference only)
- Constant = 10 (20 dB)
- Real Pole at -10
- Real Pole at -1
- Real Zero at -1e+002



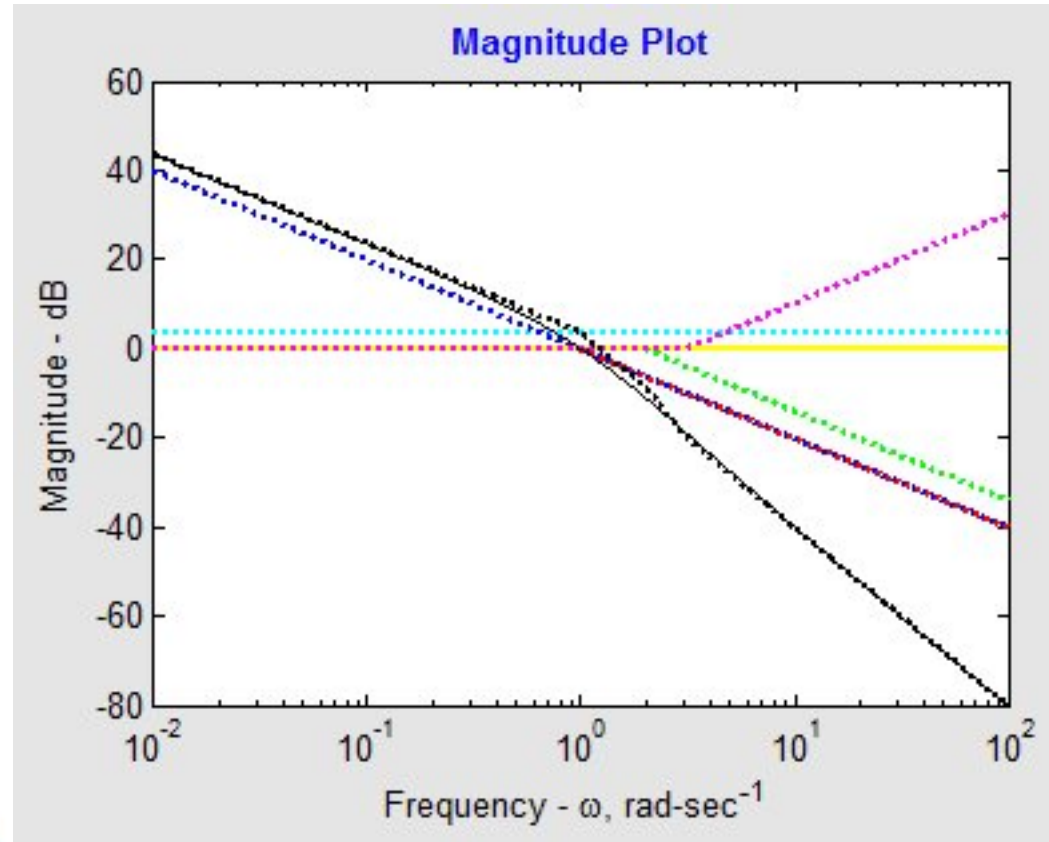
Outros Exemplos:

$$\blacktriangleright G_5(s) = \frac{s+3}{s(s+1)(s+2)}$$

$$= \frac{3\left(\frac{s}{3}+1\right)}{s(s+1) \cdot 2\left(\frac{s}{2}+1\right)}$$

$$= \frac{3}{2} \cdot \frac{\left(\frac{s}{3}+1\right)}{s(s+1) \cdot \left(\frac{s}{2}+1\right)}$$

- Exact Bode Plot
- Asymptotic Plot
- Zero Value (for reference only)
- Constant = 1.5 (3.5 dB)
- Pole at origin
- Real Pole at -2
- Real Pole at -1
- Real Zero at -3



$$20 \times \log(3/2) = 20 \times 0,1761 = 3,5218$$

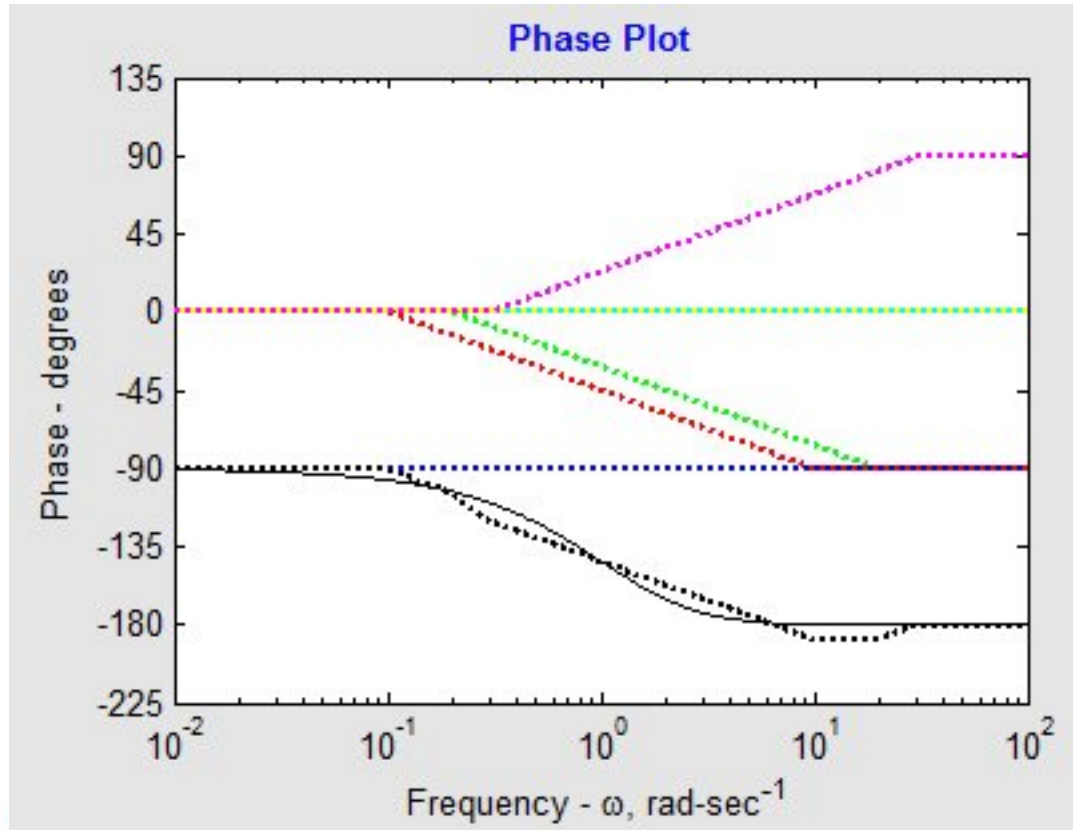
Outros Exemplos:

$$\blacktriangleright G_5(s) = \frac{s+3}{s(s+1)(s+2)}$$

$$= \frac{3\left(\frac{s}{3}+1\right)}{s(s+1) \cdot 2\left(\frac{s}{2}+1\right)}$$

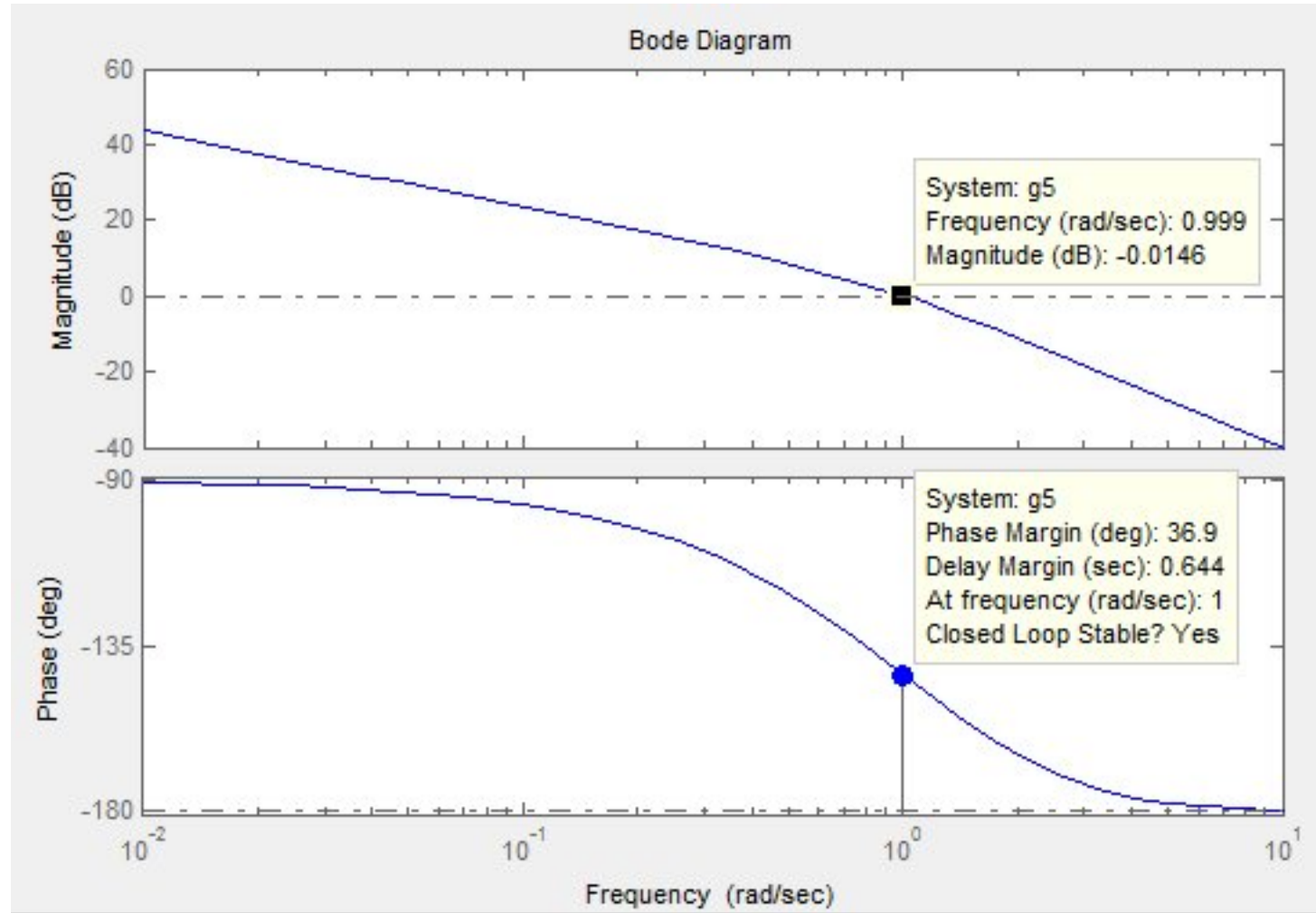
$$= \frac{3}{2} \cdot \frac{\left(\frac{s}{3}+1\right)}{s(s+1) \cdot \left(\frac{s}{2}+1\right)}$$

- Exact Bode Plot
- Asymptotic Plot
- Zero Value (for reference only)
- Constant = 1.5 (3.5 dB)
- Pole at origin
- Real Pole at -2
- Real Pole at -1
- Real Zero at -3



Outros Exemplos:

$$\begin{aligned} G_5(s) &= \frac{s+3}{s(s+1)(s+2)} \\ &= \frac{3\left(\frac{s}{3}+1\right)}{s(s+1)\cdot 2\left(\frac{s}{2}+1\right)} \\ &= \frac{3}{2} \cdot \frac{\left(\frac{s}{3}+1\right)}{s(s+1)\cdot\left(\frac{s}{2}+1\right)} \end{aligned}$$



Outros Exemplos:

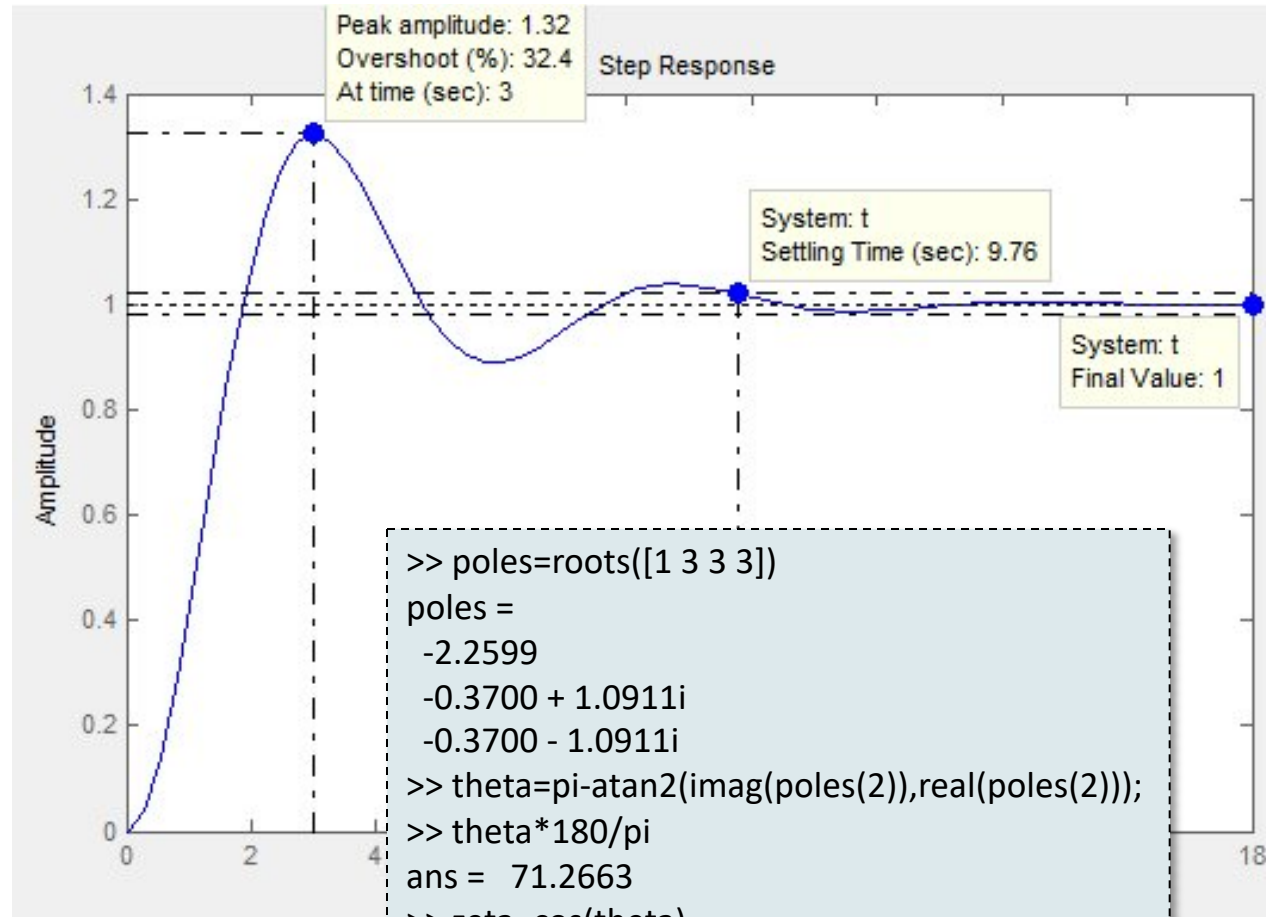
$$G_5(s) = \frac{s+3}{s(s+1)(s+2)}$$

$$T_5(s) = \frac{G(s)}{1+G(s)}$$

$$= \frac{(s+3)}{s(s+1)(s+2) + (s+3)}$$

$$= \frac{(s+3)}{s^3 + 3s^2 + 3s + 2}$$

$$= \frac{(s+3)}{(s+2,26)(s+0,37 \pm j1,09)}$$



```
>> poles=roots([1 3 3 3])
poles =
-2.2599
-0.3700 + 1.0911i
-0.3700 - 1.0911i
>> theta=pi-atan2(imag(poles(2)),real(poles(2)));
>> theta*180/pi
ans = 71.2663
>> zeta=cos(theta)
zeta = 0.3212
>> OS=exp(-(zeta*pi)/(sqrt(1-zeta*zeta)))*100
OS = 34.4580
>>
```

Sistemas com polos complexos

▶ Seja:
$$G(s) = s^2 + 2\zeta w_n s + w_n^2 = w_n^2 \left(\frac{s^2}{w_n^2} + 2\zeta \frac{s}{w_n} + 1 \right)$$

▶ Em baixas frequências:

$$G(s) \approx w_n^2 = w_n^2 \angle 0^\circ \qquad 20 \log M = 20 \log |G(jw)| = 20 \log w_n^2$$

▶ Em altas frequências:

$$G(s) \approx s^2 \qquad 20 \log M = 20 \log |G(jw)| = 20 \log w^2 = 40 \log w$$
$$G(jw) \approx -w^2 = w^2 \angle 180^\circ$$

▶ Detalhes:

▶ w_n : frequência de corte (quebra).

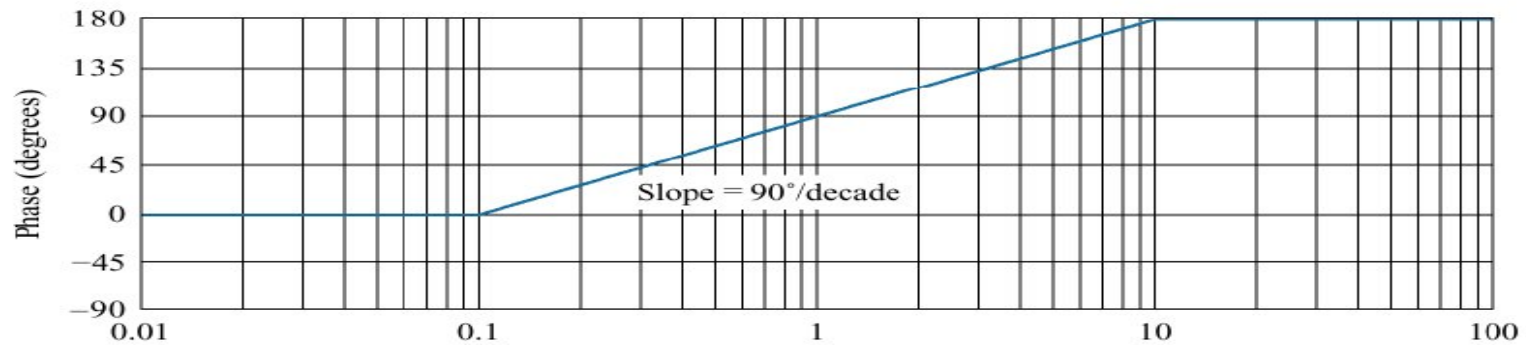
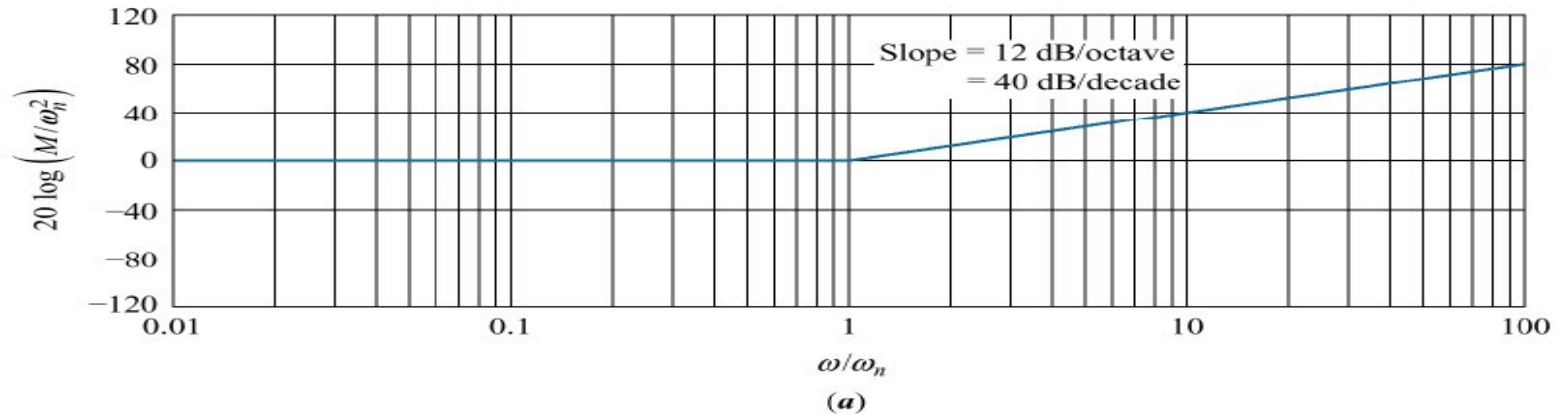
▶ Fase em w_n :

$$G(jw) = s^2 + 2\zeta w_n s + w_n^2 \Big|_{s \rightarrow jw} = (w_n^2 - w^2) + j2\zeta w_n w$$

em w_n o resultado é: $j2\zeta w_n^2$ assim a fase na frequência natural é de $+90^\circ$

Sistemas com polos complexos

- ▶ Seja: $G(s) = s^2 + 2\zeta\omega_n s + \omega_n^2 = \omega_n^2 \left(\frac{s^2}{\omega_n^2} + 2\zeta \frac{s}{\omega_n} + 1 \right)$
- ▶ Em baixas frequências: $G(s) \approx \omega_n^2 = \omega_n^2 \angle 0^\circ$ $20 \log M = 20 \log |G(j\omega)| = 20 \log \omega_n^2$
- ▶ Em altas frequências: $G(s) \approx s^2$ $20 \log M = 20 \log |G(j\omega)| = 20 \log \omega^2 = 40 \log \omega$
 $G(j\omega) \approx -\omega^2 = \omega^2 \angle 180^\circ$



Sistemas com polos complexos

Correções em diagrama assintótico..

▶ Seja:

$$G(s) = s^2 + 2\zeta\omega_n s + \omega_n^2 = \omega_n^2 \left(\frac{s^2}{\omega_n^2} + 2\zeta \frac{s}{\omega_n} + 1 \right)$$

- ▶ Um polinômio de 1ª-orden resulta numa diferença não superior a **3,01 dB** na magnitude e **5,71°** em relação à fase (no ponto do polo).
- ▶ Um polinômio de 2ª-orden pode implicar maior disparidade, depende do valor de ζ (na localização dos polos complexos):

$$G(j\omega) = s^2 + 2\zeta\omega_n s + \omega_n^2 \Big|_{s \rightarrow j\omega} = (\omega_n^2 - \omega^2) + j2\zeta\omega_n \omega$$

$$M = \sqrt{(\omega_n^2 - \omega^2)^2 + (2\zeta\omega_n \omega)^2}$$

$$Fase = \tan^{-1} \left(\frac{2\zeta\omega_n \omega}{\omega_n^2 - \omega^2} \right)$$

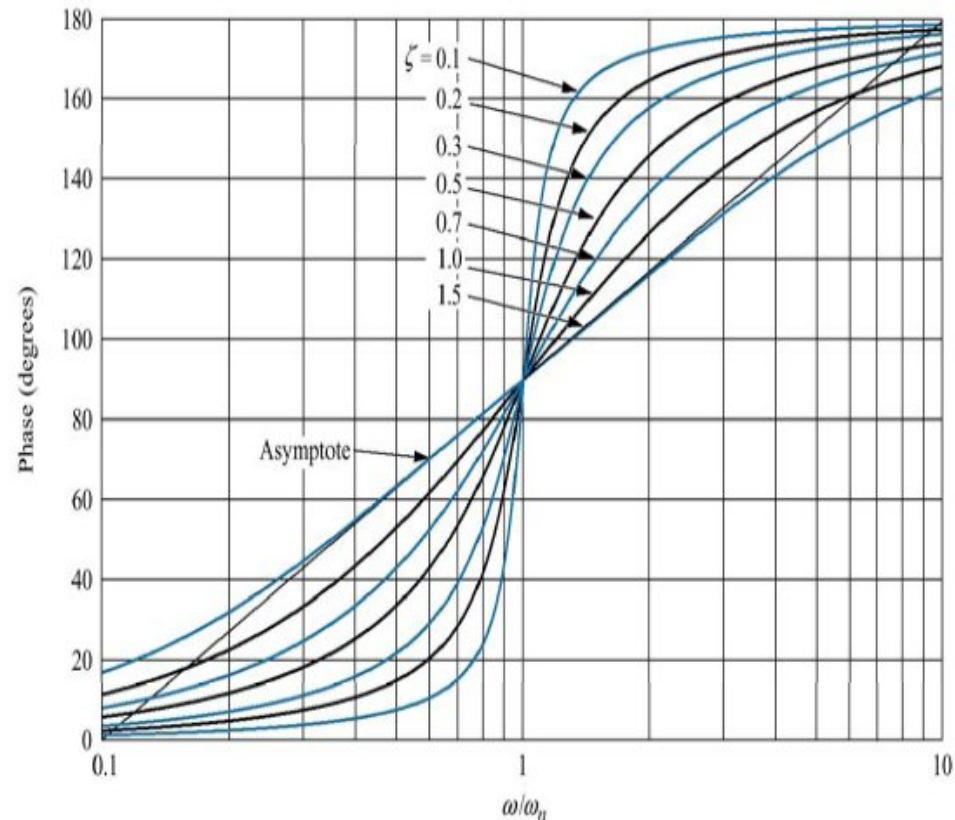
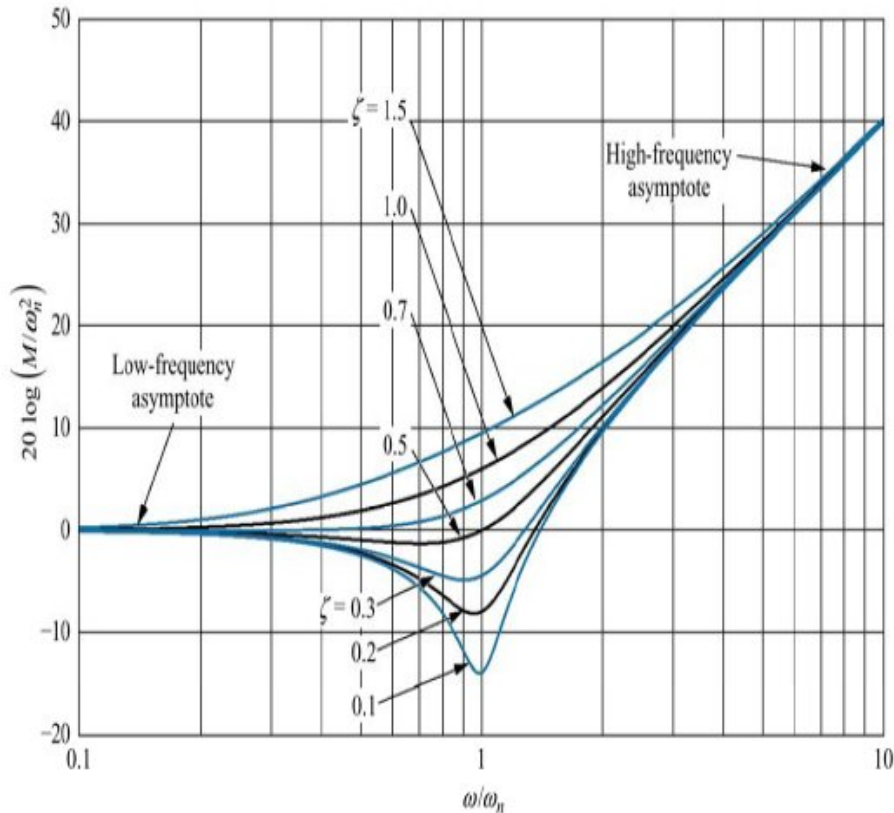
Sistemas com polos complexos

Correções em diagrama assintótico..

▶ Seja: $G(s) = s^2 + 2\zeta\omega_n s + \omega_n^2 = \omega_n^2 \left(\frac{s^2}{\omega_n^2} + 2\zeta \frac{s}{\omega_n} + 1 \right)$

$$M = \sqrt{(\omega_n^2 - \omega^2)^2 + (2\zeta\omega_n\omega)^2}$$

$$Fase = \tan^{-1} \left(\frac{2\zeta\omega_n\omega}{\omega_n^2 - \omega^2} \right)$$



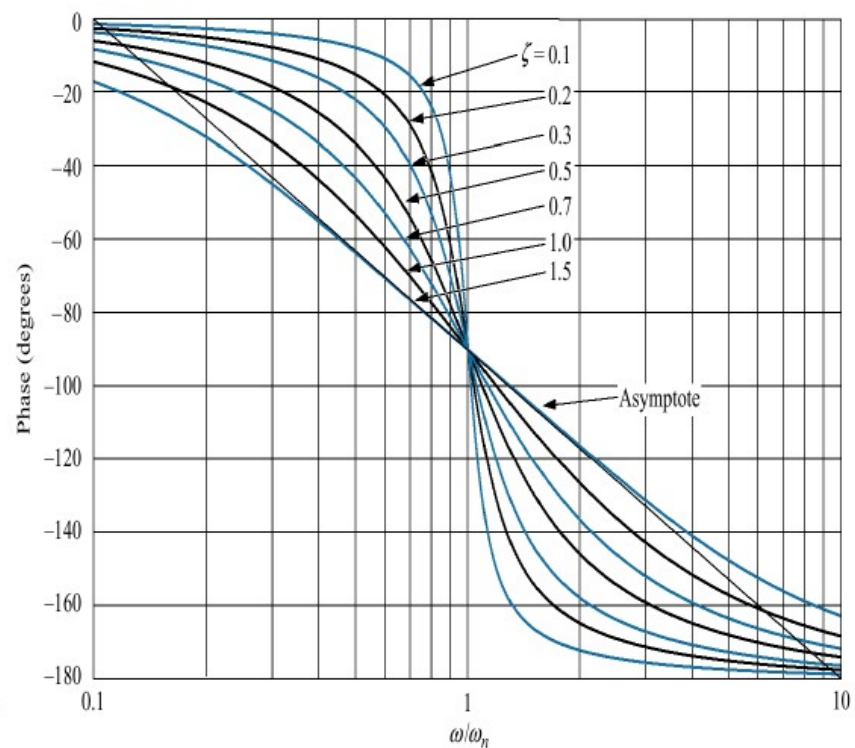
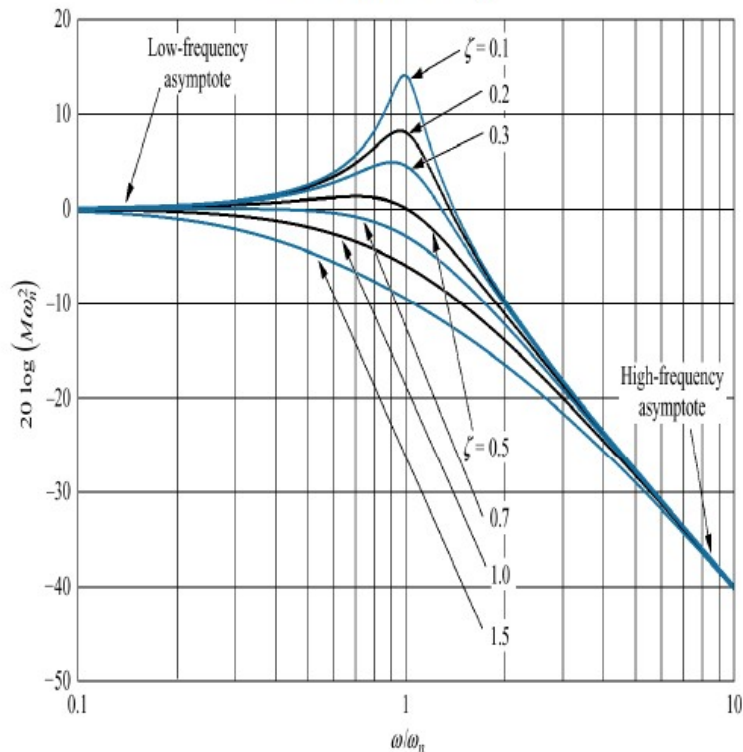
$$G(j\omega) = s^2 + 2\zeta\omega_n s + \omega_n^2 \Big|_{s \rightarrow j\omega} = (\omega_n^2 - \omega^2) + j2\zeta\omega_n\omega$$

Sistemas com polos complexos

Correções em diagrama assintótico..

$$G(s) = 1/(s^2 + 2\zeta\omega_n s + \omega_n^2)$$

- The slope is -40dB/decade .
- The normalized magnitude at the scaled natural frequency is $-20\log 2\zeta\omega_n^2$



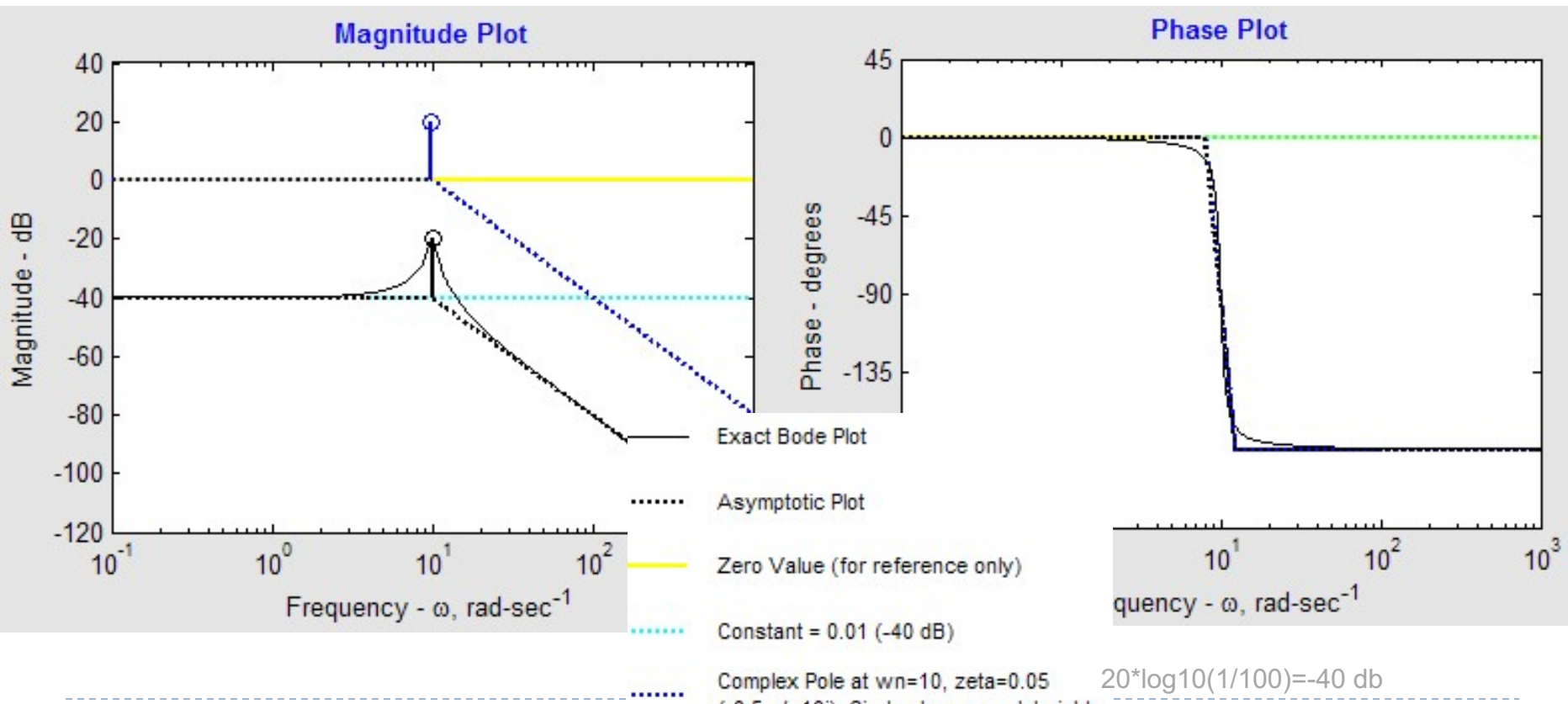
Exemplo polos complexos

► $G(s) = \frac{1}{s^2 + s + 100}$

$$G(s) = \frac{1}{(s + 0,5 + j10)(s + 0,5 - j10)}$$

$$G(s) = s^2 + 2\zeta\omega_n s + \omega_n^2 = \omega_n^2 \left(\frac{s^2}{\omega_n^2} + 2\zeta \frac{s}{\omega_n} + 1 \right)$$

$$\omega_n = \sqrt{100} = 10 \quad \zeta = 1/2\omega_n = 1/20 = 0,05$$



Problemas sugeridos:

```
>> roots([1 3 50])
ans =
-1.5000 + 6.9101i
-1.5000 - 6.9101i
>>
```

$$H_1(s) = 30 \frac{s + 10}{s^2 + 3s + 50}$$

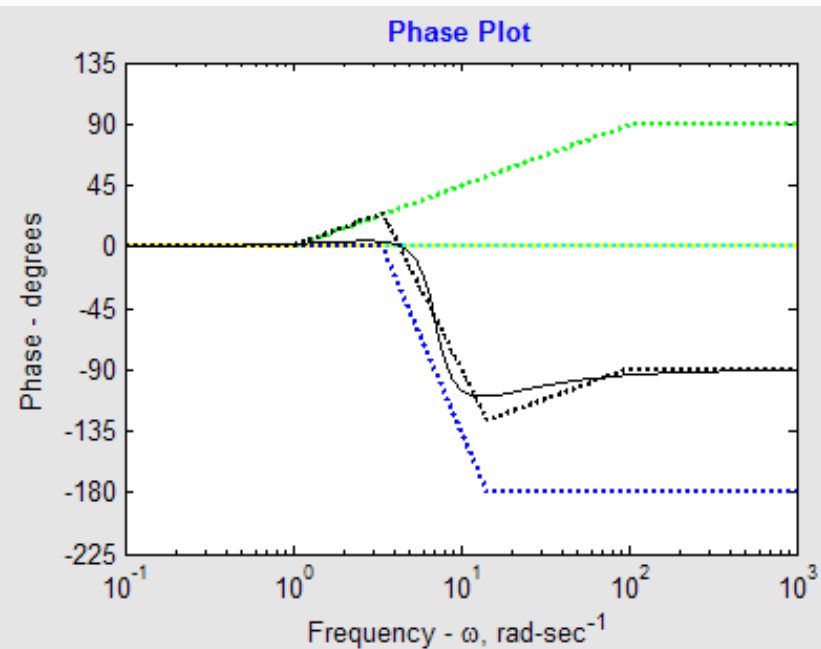
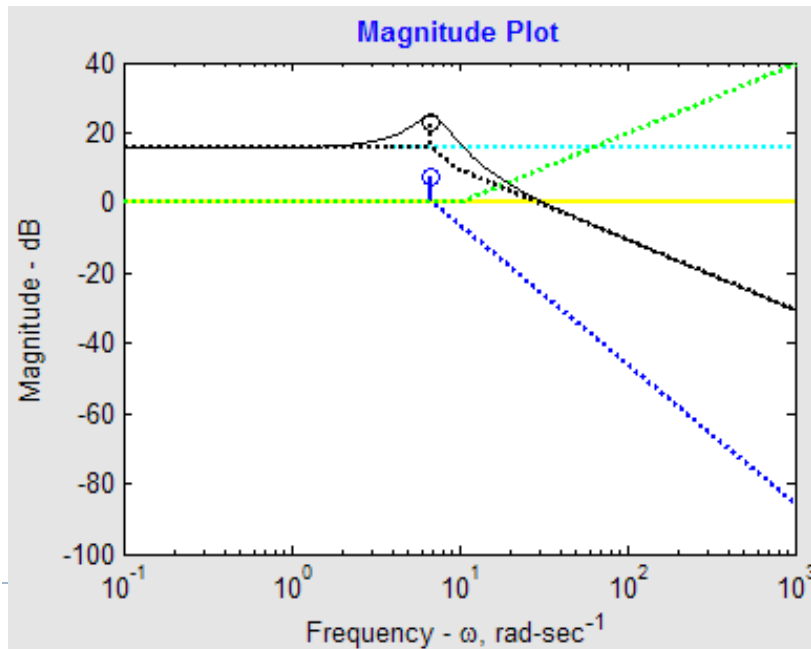
$$H(s) = 30 \frac{s + 10}{s^2 + 3s + 50} = 30 \frac{10}{50} \frac{\frac{s}{10} + 1}{\frac{s^2}{50} + \frac{3}{50}s + 1} = 6 \frac{\frac{s}{10} + 1}{\frac{s^2}{50} + \frac{3}{50}s + 1}$$

- Exact Bode Plot
- Asymptotic Plot
- Zero Value (for reference only)
- Constant = 6 (16 dB)
- Complex Pole at $\omega_n=7.1$, $\zeta=0.21$ (-1.5 +/- 6.9j) Circle shows peak height.
- Real Zero at -10

- valor constante = 6,
- um zero e $s=-10$,
- e par de polos complexos conjugados em: raízes de: $s^2+3s+50=0$;
- Polos complexos em $s=-1,5 \pm j6,9$ (onde $j=\text{sqrt}(-1)$).

Uma maneira mais comum (e útil para nossos propósitos) de expressar isso é usar a notação padrão para um polinômio de segunda ordem:

$$\left(\frac{s}{\omega_0}\right)^2 + 2\zeta\left(\frac{s}{\omega_0}\right) + 1 \quad \omega_0 = \sqrt{50} = 7.07, \quad \zeta = \frac{3\sqrt{50}}{2 \cdot 50} = 0.21$$



Problemas sugeridos:

$$H_2(s) = 30 \frac{5s}{s^2 + 3s + 50}$$

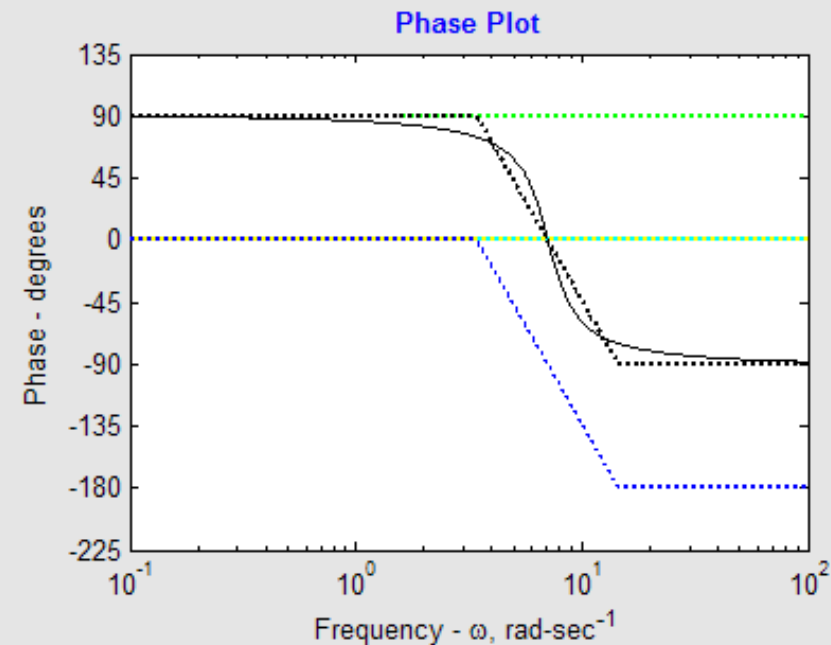
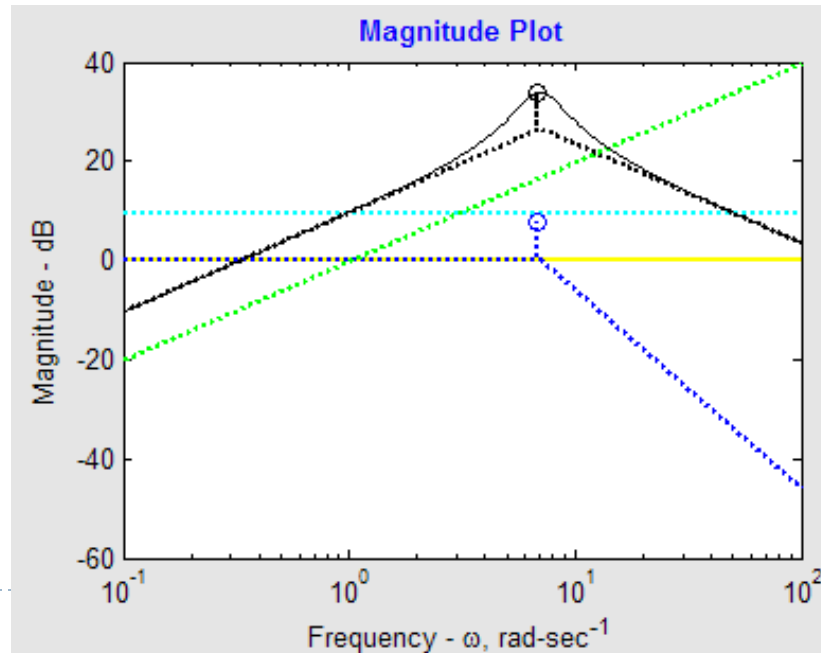
$$H(s) = 30 \frac{s+10}{s^2 + 3s + 50} = 30 \frac{10}{50} \frac{\frac{s}{10} + 1}{\frac{s^2}{50} + \frac{3}{50}s + 1} = 6 \frac{\frac{s}{10} + 1}{\frac{s^2}{50} + \frac{3}{50}s + 1}$$

- Exact Bode Plot
- Asymptotic Plot
- Zero Value (for reference only)
- Constant = 3 (9.5 dB)
- Complex Pole at $\omega_n=7.1$, $\zeta=0.21$
(-1.5 +/- 6.9j) Circle shows peak height.
- Zero at origin

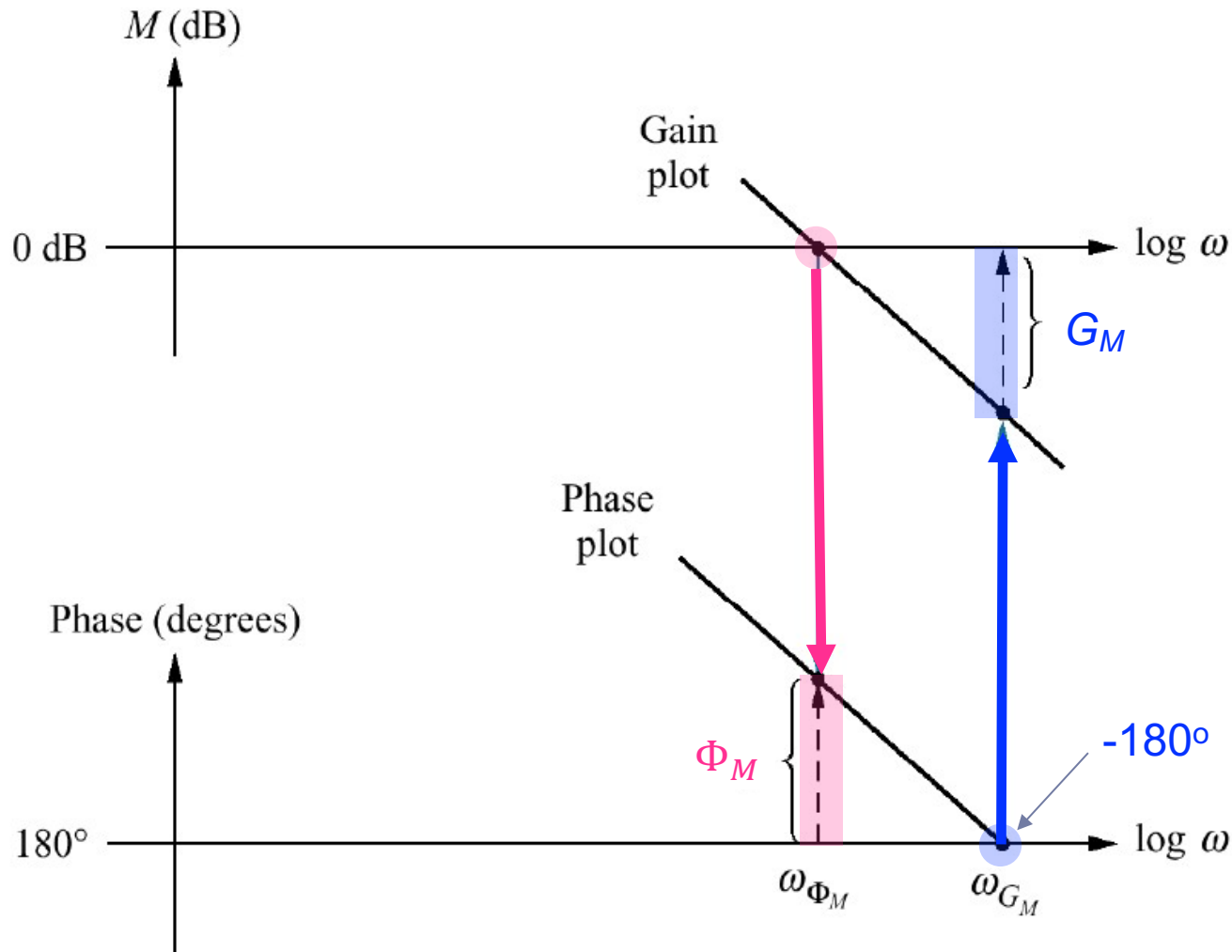
- valor constante = 6,
- um zero e $s=-10$,
- e par de polos complexos conjugados em: raízes de: $s^2+3s+50=0$, ou:

$$\left(\frac{s}{\omega_0}\right)^2 + 2\zeta\left(\frac{s}{\omega_0}\right) + 1$$

$$\omega_0 = \sqrt{50} = 7.07, \quad \zeta = \frac{3\sqrt{50}}{2 \cdot 50} = 0.21$$

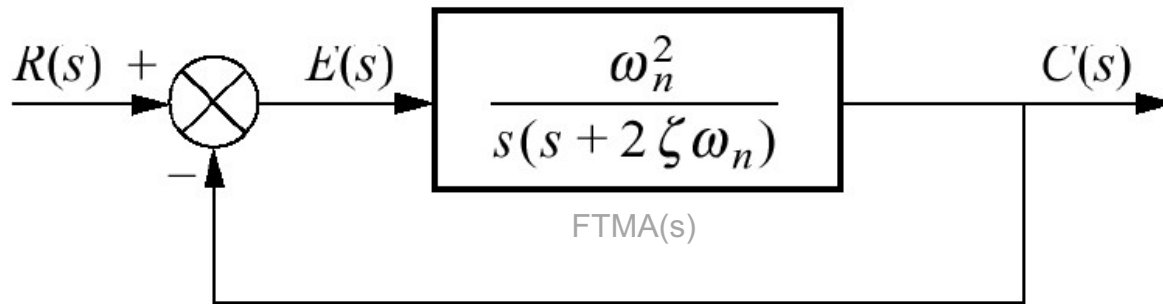


Estabilidade, Margem de Ganho, G_M e Margem de Fase, Φ_M através do Diagrama de Bode...



Relação entre Transitório de Malha Fechada e Resposta em Frequência de malha aberta

- ▶ Fator de amortecimento, ζ e resposta em frequência de malha fechada, $T(s)$:



$$\frac{C(s)}{R(s)} = T(s) = \frac{\omega_n^2}{s^2 + 2\zeta\omega_n s + \omega_n^2} \quad \leftarrow \text{FTMF}(s)$$

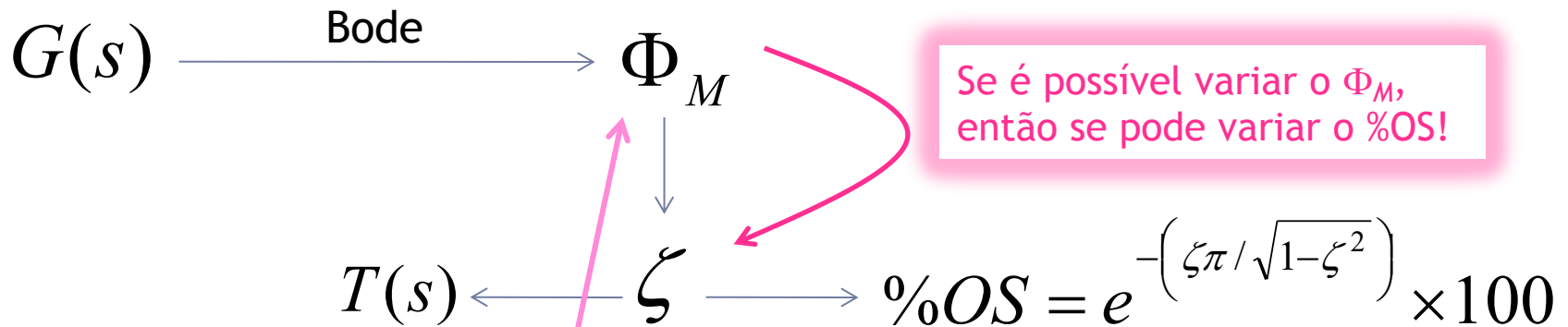
$$M = |T(j\omega)| = \frac{\omega_n^2}{\sqrt{(\omega_n^2 - \omega^2)^2 + 4\zeta^2 \omega_n^2 \omega^2}}$$

$$M_P = \frac{1}{2\zeta\sqrt{1-\zeta^2}}$$

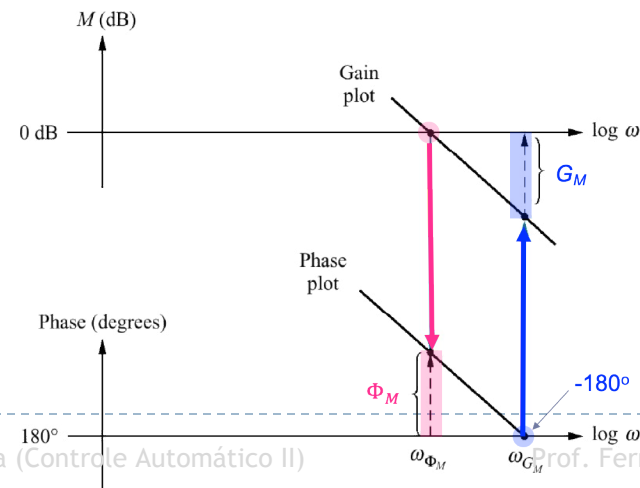
$$\omega_P = \omega_n \sqrt{1-2\zeta^2}$$

Relação entre Transitório de Malha Fechada e Resposta em Frequência de malha aberta

- ▶ Através do Diagrama de Bode de um sistema ainda em malha aberta, $G(s)$, se pode prever o porcentual de sobressinal, %OS, do sistema em malha fechada, $T(s)$:
 - ▶ Este valor se pode obter a partir da margem de fase do sistema em malha aberta:



$$\zeta = \frac{-\ln(\%OS / 100)}{\sqrt{\pi^2 + \ln^2(\%OS / 100)}}$$



Relação entre Transitório de Malha Fechada e Resposta em Frequência de malha aberta

Sistema malha aberta:

$$G(s) = \frac{w_n^2}{s(s + 2\zeta w_n)}$$

Sistema malha fechada:

$$T(s) = \frac{w_n^2}{s^2 + 2\zeta w_n s + w_n^2}$$

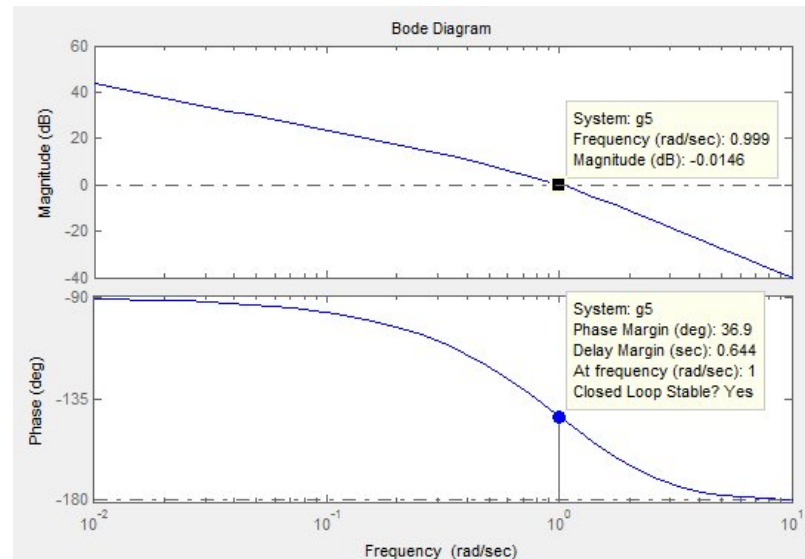
Encontrando frequência w_1 onde $|G(jw)| = 1$

$$|G(jw)| = \frac{w_n^2}{|-w^2 + j2\zeta w_n w|} = 1$$

$$w_1 = w_n \sqrt{-2\zeta^2 + \sqrt{1 + 4\zeta^4}}$$

$$\angle G(jw) = -90 - \tan^{-1}\left(\frac{w_1}{2\zeta w_n}\right)$$

$$= -90 - \tan^{-1}\left(\frac{\sqrt{-2\zeta^2 + \sqrt{4\zeta^4 + 1}}}{2\zeta}\right)$$



Como $\Phi M = \angle G(jw) - 180^\circ$:

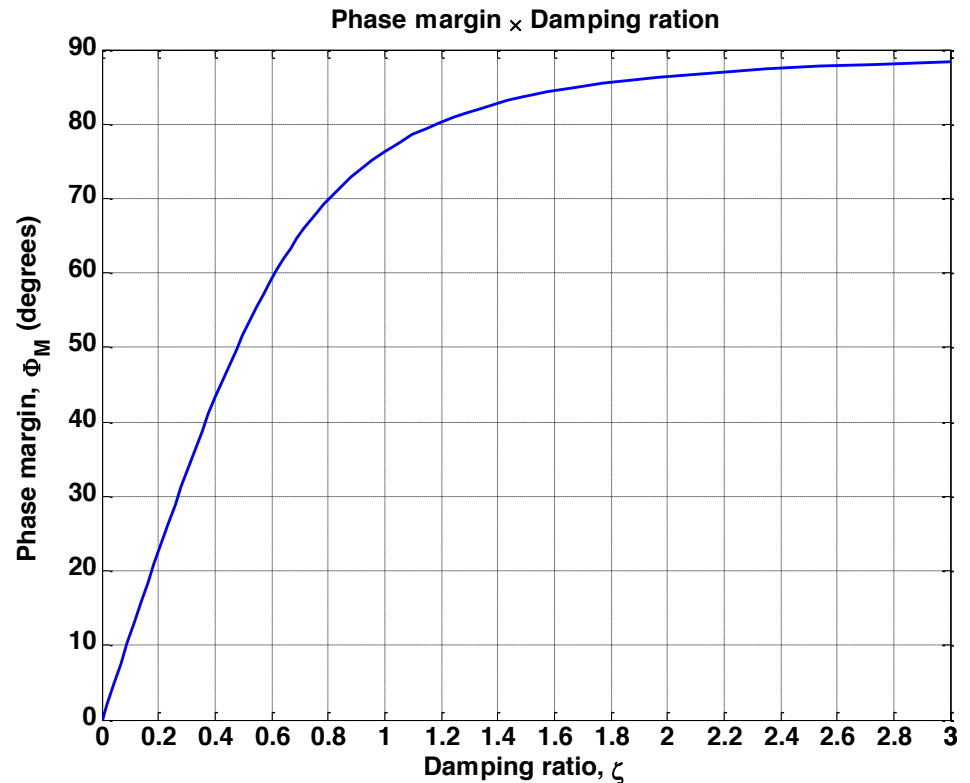
$$\Phi_M = 90 - \tan^{-1}\left(\frac{\sqrt{-2\zeta^2 + \sqrt{4\zeta^4 + 1}}}{2\zeta}\right)$$

$$\Phi_M = \tan^{-1}\left(\frac{2\zeta}{\sqrt{-2\zeta^2 + \sqrt{4\zeta^4 + 1}}}\right)$$

Relação entre Transitório de Malha Fechada e Resposta em Frequência de malha aberta

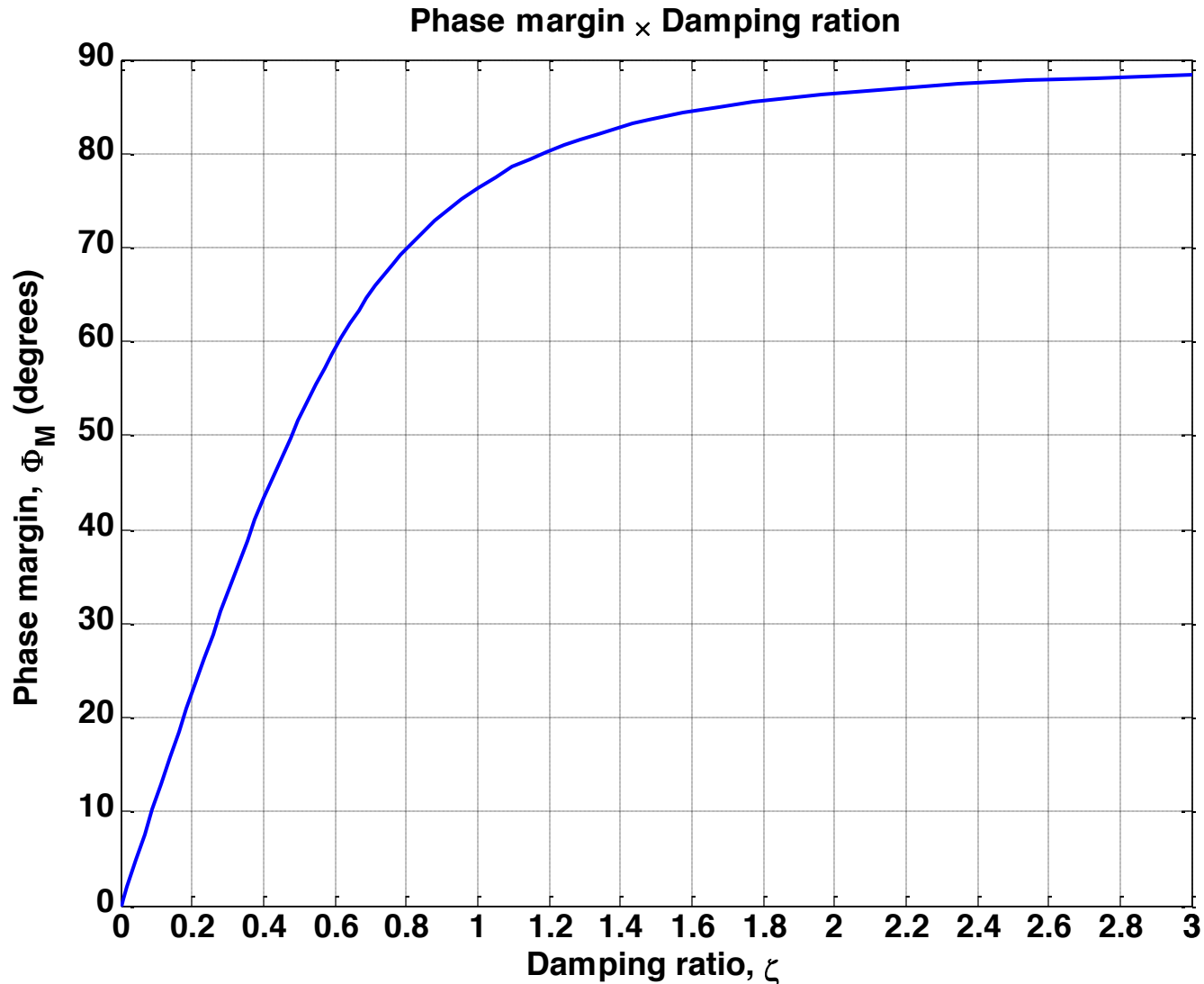
$$\Phi_M = 90 - \tan^{-1} \left(\frac{\sqrt{-2\zeta^2 + \sqrt{4\zeta^4 + 1}}}{2\zeta} \right)$$

$$\Phi_M = \tan^{-1} \left(\frac{2\zeta}{\sqrt{-2\zeta^2 + \sqrt{4\zeta^4 + 1}}} \right)$$

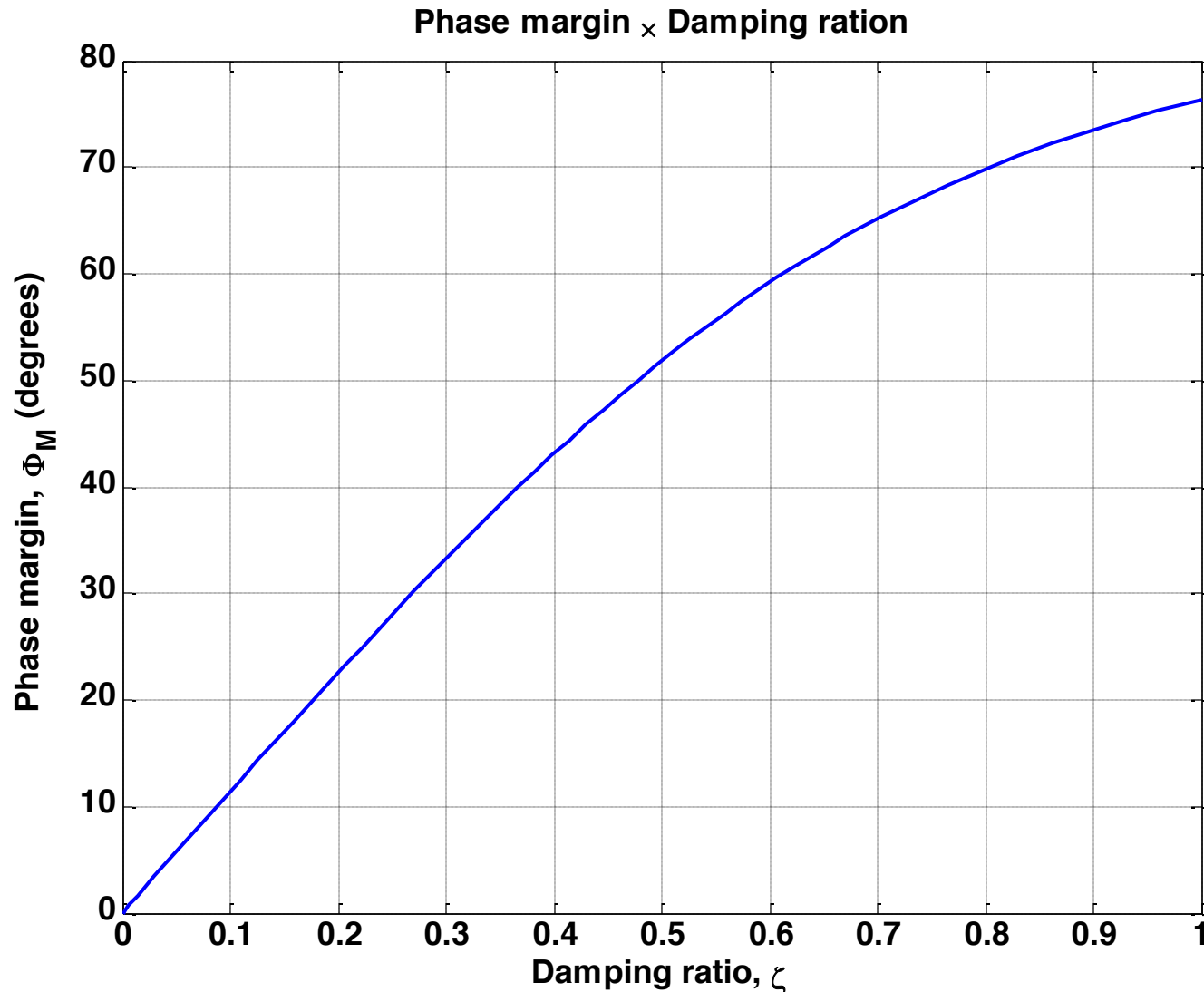


```
>> fplot(@(zeta) atan2(2*zeta,sqrt(-2*zeta*zeta+sqrt(1+4*zeta^4)))*180/pi, [0 3] )  
>> grid  
>> title('Phase margin \times Damping ration')  
>> xlabel('Damping ratio, \zeta')  
>> ylabel('Phase margin, \Phi_M (degrees)')
```

Relação entre Transitório de Malha Fechada e Resposta em Frequência de malha aberta

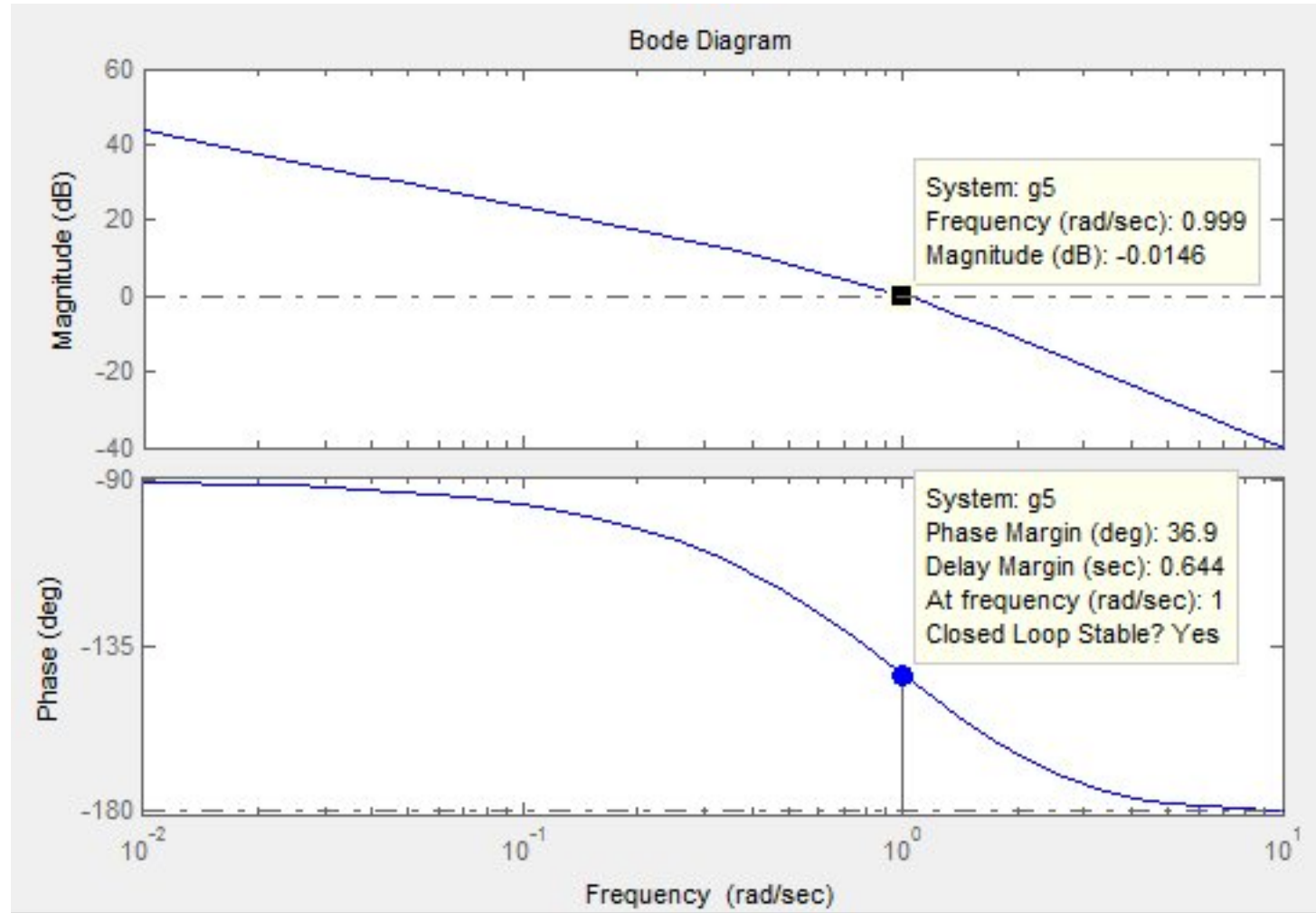


Relação entre Transitório de Malha Fechada e Resposta em Frequência de malha aberta



Outros Exemplos:

$$\begin{aligned} G_5(s) &= \frac{s+3}{s(s+1)(s+2)} \\ &= \frac{3\left(\frac{s}{3}+1\right)}{s(s+1)\cdot 2\left(\frac{s}{2}+1\right)} \\ &= \frac{3}{2} \cdot \frac{\left(\frac{s}{3}+1\right)}{s(s+1)\cdot\left(\frac{s}{2}+1\right)} \end{aligned}$$



Compensador de Atraso de Fase (*Lag*)

1. Melhorar constante de erro estático sem comprometer a estabilidade do sistema;
2. Aumentar a Margem de Fase do sistema de forma a satisfazer a resposta transitória desejada.

